



**АКЦІОНЕРНЕ ТОВАРИСТВО
«ПІВДЕННИЙ ГІРНИЧО-ЗБАГАЧУВАЛЬНИЙ КОМБІНАТ»
АКЦИОНЕРНОЕ ОБЩЕСТВО «ЮЖНЫЙ ГОРНО-ОБОГАТИТЕЛЬНЫЙ КОМБИНАТ»,
АО «ЮГОК»**
JOINT-STOCK COMPANY «YUZHNY GOK», JSC «YUZHNIY GOK»
Україна, 50026, м. Кривий Ріг, Дніпропетровської обл., АТ «ПІВДГЗК»,
тел.: (056) 407-73-01, факс: (056) 407-42-01
www.UGOK.com.ua E-mail: office@ugok.com.ua Код ЕДРПОУ 00191000

18.04.2022

№ 52-29/2652

на №

від

**Міністерство захисту
довкілля та природних
ресурсів України
вул. Митрополита
Василя Липківського, 35
м. Київ, 03035**

**Державна екологічна
інспекція України
Новопечерський пров. 3,
корпус 2
м. Київ, 01042**

**Виконавчий комітет
Криворізької міської ради
пл. Молодіжна, 1
Кривий Ріг, 50101**

**Виконавчий комітет
Новолатівської сільської
ради
вул. Шкільна, буд. 18,
с. Новолатівка, Криворізький
(Широківський) район,
Дніпропетровська область,
53772**

**Щодо результатів
післяпроектного моніторингу**

У відповідності до встановлених екологічних умов п. 6 висновку з оцінки впливу на довкілля № 21/01-202011307020/1 від 10.08.2021 планової діяльності з «Реконструкція кар'єра у зв'язку з його поглиблення з метою підтримки потужності комбінату на період з 2021 року по 2030 рік. Корегування. (АТ «ПІВДГЗК», Інгулецький район)» та згідно умов надання звітності розробленого та затвердженого Плану післяпроектного моніторингу АТ «ПІВДГЗК» направляємо Вам результати (звіти) моніторингу за 1 квартал 2022:

1. Протоколи дослідження повітря населених місць на межі СЗЗ та житлової забудови (Додаток 1).

2. Протоколи вимірювань параметрів викидів забруднюючих речовин в атмосферне повітря на межі СЗЗ, а також експериментальні дослідження запиленості та загазованості атмосфери на межі СЗЗ при проведенні масових вибухів (Додаток 2).
3. Протоколи проведення досліджень шумового навантаження на інфразвуку на межі санітарно-захисної зони та житлової забудови (Додаток 3).
4. Протоколи проведення досліджень шумового навантаження на інфразвуку при проведенні масових вибухів на межі СЗЗ (Додаток 4).
5. Результати контролю якості поверхневих вод р. Інгулець вище та нижче гирла по б. Грушевата (Додаток 5).
6. Результати хімічного аналізу кар'єрних вод (Додаток 6)
7. Довідка про приплив води в кар'єр АТ «ПІВДГЗК» (Додаток 7).
8. Протоколи випробувань. Дані екологічного стану ґрунтів території впливу місця видалення відходів АТ «ПІВДГЗК» (Додаток 8)
9. Протокол аналізу підземних вод (Додаток 9)
10. Рівні залягання ґрунтових вод спостережливих свердловин в районі відвалу «Лівобережній» (Додаток 10)
11. Протоколи за результатами вимірювань параметрів сейсмічних і ударно-повітряних хвиль, створених масових вибухами в кар'єрі АТ «ПІВДГЗК» (Додаток 11).

Стосовно надання матеріалів відеофіксації підготовчих та проведення вибухових робіт, в яких зафіксовані заходи з пилоподавлення за період січень-березень 2022, а також розміщення звітів післяпроектного моніторингу на офіційному сайті АТ «ПІВДГЗК» повідомляємо, що 28.03.2022 на інформаційні ресурси нашого підприємства була скочена атака, внаслідок якої була суттєво пошкоджена інформаційна інфраструктура та ресурси (сайти підприємства, сервера зберігання даних, інформація користувачів тощо). Так, було втрачено архів відеоінформації щодо підготовки та проведення промислових вибухів в кар'єрі комбінату. Нажаль, відновити вищезгаданий контент не виявляється можливим. У зв'язку з атакою ми були змушені призупинити обмін даних з зовнішніми отримувачами, це привело до відсутності інформації щодо показників екологічного стану. Зараз ми вживаемо додаткових заходів щодо захисту мережі та після закінчення встановлення додаткового програмного забезпечення та тестування ми плануємо відновити вказаній сервіс.

З повагою,
Директор з охорони праці, промислової
та екологічної безпеки

ПОГОДЖЕНО



Олександр ШЕВЧЕНКО

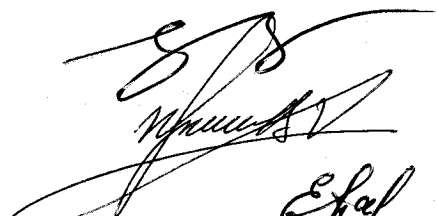
1.6а Головний гірник

Головний енергетик

Головний геолог

Головний фахівець з екології –
начальник відділу ОНС

Світлана БЛИЗНЮК
(056) 407-84-57



Юрій Ключников
Володимир КЛОЧЕНКО

Андрій КРИВОШЕЙ

Олена ПАРОВЕНКО



Наталія БІЛИК

Міністерство охорони здоров'я України Найменування закладу Відокремлений структурний підрозділ «Криворізький районний відділ ДУ «Дніпропетровський ОЦКПХ МОЗ» Вул. Володимира Великого, 21 Свідоцтво про технічну компетентність №04/18 від 15.05.2018 р.		МЕДИЧНА ДОКУМЕНТАЦІЯ ФОРМА № 329/о Затверджена наказом МОЗ України 11.07.2000 р № 160
--	--	--

ПРОТОКОЛ* № 637-663
дослідження повітря населених місць
«18» березня 2022 року

Місце відбору проби повітря : АТ «ПІВДЕННИЙ ГІРНИЧО-ЗБАГАЧУВАЛЬНИЙ КОМБІНАТ»
50026, Дніпропетровська область, м. Кривий Ріг

Мета відбору: відповідно до договору №2342/975 від 30.11.2021 р.

Вид проби (разова, середньодобова): разова

Дата і час відбору: 18.03.2022 р. 12⁰⁰-14³⁵ доставки: 18.03.2022 р. 15²⁵

Умови транспортування: автотранспорт зберігання: згідно з РД 52.04.186-89

Методи консервації: не застосовувались

Засоби вимірювання, які застосовуються при відборі : Метеоскоп М №425919 ;

Електроаспіратор ASA-4M №1194; Електроаспіратор ASA-2M №1017 ; ДОЗОР-С-М-4, №1671

Інформація про державну повірку:

Свідоцтво №СК-05/2025 К від 05.05.2021 р. ;

Свідоцтво №00188/21 від 29.01.2021 р. ;

Свідоцтво №СК-04539/21 від 02.11.2021 р. ;

Свідоцтво №UA/12-01/200720/0141 від 20.07.2020 р.

Характеристика району проведення досліджень (жилий квартал, промисловий район, межа санітарно-захисної зони тощо) : приблизна межа санітарно-захисної зони

Характеристика поверхні місцевості (асфальт, твердий ґрунт, газон, зелені насадження) і рельєфа : твердий ґрунт, рельєф горбистий

Характеристика джерел забруднення, висота джерел викидів над поверхнею землі (м)

мінімальна-максимальна: не надано

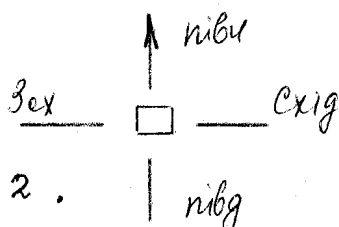
Потужність викиду інгредієнтів, за якими ведеться контроль (г/сек) за даними статистичної звітності підприємства : не надано

Відстань від джерел забруднення : приблизно 300 м

Форма факелу : відсутній

Ескіз місцевості з вказівкою джерела забруднення і точок відбору проб повітря

(порядковий номер точок відбору)



НТД, згідно якої проводився відбір: РД 52.04.186-89 «Руководство по контролю загрязнения атмосферы»

Посада, прізвище особи, яка провела відбір проб :

Фельдшер-лаборант Людмила МАРКОВИЧ

Марко

(підпис)

Протокол складається в двох примірниках

Номера		Точка відбору проб	Метеофактори						Час відбору, годин, хвилини		
погли- нання та фільтрів*	точо- к відб- ору за ескі- зом		Атмосферний тииск , мм.рт.ст.	Температура повітря, C ⁰	Вітер	напрямок	швидкість м/сек	Стан погоди	початок	кінець	Швидкість відбору проби м/хвил.
1	2	3	4	5	6	7	8	9	10	11	12
637	2	Приблизно 300 м у південно-західному напрямку від відвалу «Лівобережний»	765	+4 ⁰	66%	захід	2,7	соняч- но	12 ⁰⁰		-
638											-
639											-
640											-
641		AT «ПІВД ГЗК»									-
642		с. Новоселівка									-
643		вул. Миру									40,0
644											40,0
645											40,0
646											40,0
647											40,0
648											40,0
649											100,0
650											100,0
651											100,0
652											40,0
653											40,0
654											40,0
655											-
656											-
657											-
658											1,0
659											1,0
660											1,0
661											40,0
662											40,0
663											14 ³⁵ 40,0

*Номера поглиначів та фільтрів переписуються з регистраційного журналу

Назва досліджуvalної речовини, інгредієнта	Результат дослідження концентрації в одиницях виміру				НТД на методи дослідження	
	разова		середньодобова			
	виявлена МГ/М ³	ГДК МГ/М ³	виявлена МГ/М ³	ГДК МГ/М ³		
13	14	15	16	17	18	
азоту діоксид	0,065	0,2				
азоту діоксид	0,069	0,2				
азоту діоксид	0,061	0,2				
ангідрід сірчистий	0,11	0,5				
ангідрід сірчистий	0,19	0,5				
ангідрід сірчистий	0,14	0,5				
тил недиференційований	0,26	0,5				
тил недиференційований	менше 0,26*	0,5				
тил недиференційований	менше 0,26*	0,5				
залізо	менше 0,014*	не норму- ється		0,04	МВ 7.2/07.03-2020	
залізо	менше 0,014*			0,04		
залізо	менше 0,014*			0,04		
свинець	менше 0,0005*	0,001			РД 52.04.186-89	
свинець	менше 0,0005*	0,001				
свинець	менше 0,0005*	0,001				
хром	менше 0,0008*	0,0015			РД 52.04.186-89	
хром	менше 0,0008*	0,0015				
хром	менше 0,0008*	0,0015				
углецю оксид	1,54	5,0			РД 52.04.186-89	
углецю оксид	1,73	5,0				
углецю оксид	1,69	5,0				
углеводні насичені в перерахунку на сумарний вуглець	0,3	не норму- ється			Методы определения загрязняющих веществ в атмосферном воздухе населенных мест.	
углеводні насичені в перерахунку на сумарний вуглець	0,32					
углеводні насичені в перерахунку на сумарний вуглець	0,3					
марганець	менше 0,001*	0,01			РД 52.04.186-89	
марганець	менше 0,001*	0,01				
марганець	менше 0,001*	0,01				

*- *чиєння межа вимірювання концентрації*

Дослідження проводив
Біолог Інна ПОЗІГУН

(підпис)

Інженер СГЛ Тетяна МОСКАЛЕНКО

(підпис)

Фельдшер-лаборант Людмила МАРКОВИЧ

(підпис)

Висновок санітарного лікаря

Досліджені проби атмосферного повітря на час проведення досліджень не перевищують гранично допустимі концентрації ГДК відповідно до вимог наказу МОЗ України від 14.01.2020 р. №52 «Про затвердження гігієнічних регламентів допустимого вмісту хімічних і біологічних речовин в атмосферному повітрі населених місць».

Санітарний лікар :

Лікар з комунальної гігієни Ольга ШВЕЦОВА

Ольга
(підпис)

Завідувач відділенням

СГЛ Людмила БОГОРЕЛОВА

Людмила БОГОРЕЛОВА
(підпис)



Код форми за ЗКУД
Код закладу за ЗКПО

Міністерство охорони здоров'я України Найменування закладу Відокремлений структурний підрозділ «Криворізький районний відділ ДУ «Дніпропетровський ОЦКПХ МОЗ» Вул. Володимира Великого, 21 Свідоцтво про технічну компетентність №04/18 від 15.05.2018 р.	МЕДИЧНА ДОКУМЕНТАЦІЯ ФОРМА № 329/о Затверджена наказом МОЗ України 11.07.2000 р № 160
--	--

ПРОТОКОЛ* №777-803
дослідження повітря населених місць
«23» березня 2022 року

Місце відбору проби повітря : АТ «ПІВДЕННИЙ ГІРНИЧО-ЗБАГАЧУВАЛЬНИЙ КОМБІНАТ»
50026, Дніпропетровська область, м. Кривий Ріг

Мета відбору: відповідно до договору №2342/975 від 30.11.2021 р.

Вид проби (разова, середньодобова): разова

Дата і час відбору: 23.03.2022 р. 9⁴⁰-12⁴⁵ доставки: 23.03.2022 р. 13²⁰

Умови транспортування: автотранспорт зберігання: згідно з РД 52.04.186-89

Методи консервації: не застосовувались

Засоби вимірювання, які застосовуються при відборі : Метеоскоп М №425919 ;

Електроаспіратор ASA-4M №1194; Електроаспіратор ASA-2M №1017 ; ДОЗОР-С-М-4 №1671

Інформація про державну повірку:

Свідоцтво №СК-05/2025 К від 05.05.2021 р. ;

Свідоцтво №00188/21 від 29.01.2021 р.;

Свідоцтво №СК-04539/21 від 02.11.2021 р.;

Свідоцтво №UA/12-01/200720/0141 від 20.07.2020 р.

Характеристика району проведення дослідження (жилий квартал, промисловий район, межа санітарно-захисної зони тощо) : приблизна межа санітарно-захисної зони

Характеристика поверхні місцевості (асфальт, твердий ґрунт, газон, зелені насадження) і рельєфа твердий ґрунт, рельєф горбистий

Характеристика джерел забруднення, висота джерел викидів над поверхнею землі (м)

мінімальна-максимальна: не надано

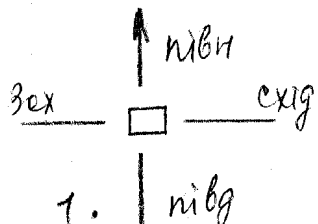
Потужність викиду інгредієнтів, за якими ведеться контроль (г/сек) за даними статистичної звітності підприємства : не надано

Відстань від джерел забруднення : приблизно 300 м

Форма факелу : відсутній

Ескіз місцевості з вказівкою джерела забруднення і точок відбору проб повітря

(порядковий номер точок відбору)



НТД, згідно якої проводився відбір: РД 52.04.186-89 «Руководство по контролю загрязнения атмосферы»

Посада, прізвище особи, яка провела відбір проб :

Фельдшер-лаборант Людмила МАРКОВИЧ

Людмила

(підпис)

Протокол складається в двох примірниках

*Номера поглиначів та фільтрів переписуються з реєстраційного журналу

Назва дослідювальної речовини, інгредієнта	Результат дослідження концентрації в одиницях виміру				НТД на методи дослідження	
	разова		середньодобова			
	виявлена мг/м ³	ГДК мг/м ³	виявлена мг/м ³	ГДК мг/м ³		
13	14	15	16	17	18	
азоту діоксид	0,032	0,2			«Руководство по эксплуатации АГАТ.468514.004-159РЭ»	
азоту діоксид	0,041	0,2				
азоту діоксид	0,037	0,2				
ангідрид сірчистий	0,12	0,5			«Руководство по эксплуатации АГАТ.468514.004-159РЭ»	
ангідрид сірчистий	0,09	0,5				
ангідрид сірчистий	0,11	0,5				
тил недиференційований	менше 0,26*	0,5			РД 52.04.186-89	
тил недиференційований	менше 0,26*	0,5				
тил недиференційований	менше 0,26*	0,5				
залізо	менше 0,014*	не норму- ється		0,04	МВ 7.2/07.03-2020	
залізо	менше 0,014*			0,04		
залізо	менше 0,014*			0,04		
свинець	менше 0,0005*	0,001			РД 52.04.186-89	
свинець	менше 0,0005*	0,001				
свинець	менше 0,0005*	0,001				
хром	менше 0,0008*	0,0015			РД 52.04.186-89	
хром	менше 0,0008*	0,0015				
хром	менше 0,0008*	0,0015				
вуглецю оксид	2,11	5,0			РД 52.04.186-89	
вуглецю оксид	1,95	5,0				
вуглецю оксид	1,87	5,0				
вуглеводні насичені в перерахунку на сумарний вуглець	0,62	не норму- ється			Методы определения загрязняющих веществ в атмосферном воздухе населенных мест	
марганець	1					
марганець	0,73					
марганець	менше 0,001*	0,01			РД 52.04.186-89	
марганець	менше 0,001*	0,01				
марганець	менше 0,001*	0,01				

*- цінічна межа вимірювання концентрації

Дослідження проводив

Біолог Інна ПОЗІГУН

(підпис)

Інженер СГЛ Тетяна МОСКАЛЕНКО

(підпис)

Фельдшер-лаборант Людмила МАРКОВИЧ

(підпис)

Висновок санітарного лікаря

Досліджені проби атмосферного повітря на час проведення дослідження не перевищують гранично допустимі концентрації ГДК відповідно до вимог наказу МОЗ України від 14.01.2020 р. №52 «Про затвердження гігієнічних регламентів допустимого вмісту хімічних і біологічних речовин в атмосферному повітрі населених місць».

Санітарний лікар

Лікар з комунальної гігієни Ольга ШВЕЦОВА


(підпис)

Завідувач відділенням

СГЛ Людмила ПОРОЛОВА


(підпис)



Міністерство охорони здоров'я України Найменування закладу Відокремлений структурний підрозділ «Криворізький РВ» ДУ «Дніпропетровський ОЦКПХ МОЗ» Вул. Володимира Великого, 21 Свідоцтво про технічну компетентність №04/18 від 15.05.2018 р.	МЕДИЧНА ДОКУМЕНТАЦІЯ ФОРМА № 329/о Затверджена наказом МОЗ України 11.07.2000 р № 160
--	--

ПРОТОКОЛ* № 723-749
дослідження повітря населених місць
« 22 » березня 2022 року

Місце відбору проби повітря : АТ «ПІВДЕННИЙ ГІРНИЧО-ЗБАГАЧУВАЛЬНИЙ КОМБІНАТ»
50026, Дніпропетровська область, м. Кривий Ріг

Мета відбору: відповідно до договору № 2342/975 від 30.11.2021 р

Вид проби (разова, середньодобова): разова

Дата і час відбору: 22.03.2022 р. 9²⁰-11⁵⁵ доставки: 22.03.2022 р. 15⁰⁵

Умови транспортування: автотранспорт зберігання: згідно РД 52.04.186-89

Методи консервації: не застосовувались

Засоби вимірювання, які застосовуються при відборі : Метеоскоп М № 425919 ;

Електроаспіратор ASA-4M №1194; Електроаспіратор ASA-2M №1017 ; ДОЗОР-С-М-4 №1671

Інформація про державну повірку:

Свідоцтво №СК-05/2025 К від 05.05.2021 р. ;

Свідоцтво №00188/21 від 29.01.2021 р.;

Свідоцтво №СК-04539/21 від 02.11.2021 р.;

Свідоцтво №UA/12-01/200720/0141 від 20.07.2020 р.

Характеристика району проведення досліджень (жилий квартал, промисловий район, межа санітарно-захисної зони тощо) : приблизна межа санітарно-захисної зони

Характеристика поверхні місцевості (асфальт, твердий ґрунт, газон, зелені насадження) і рельєфа асфальт, рельєф рівний

Характеристика джерел забруднення, висота джерел викидів над поверхнею землі (м)

мінімальна-максимальна: не надано

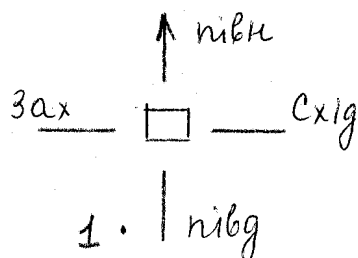
Потужність викиду інгредієнтів, за якими ведеться контроль (г/сек) за даними статистичної звітності підприємства : не надано

Відстань від джерел забруднення : приблизно 600 м

Форма факелу : відсутній

Ескіз місцевості з вказівкою джерела забруднення і точок відбору проб повітря

(порядковий номер точок відбору)



НТД, згідно якої проводився відбір: РД 52.04.186-89 «Руководство по контролю загрязнения атмосферы»

Посада, прізвище особи, яка провела відбір проб :

Фельдшер-лаборант Людмила МАРКОВИЧ

Марко

(підпис)

Протокол складається в двох примірниках

*Номера поглиначів та фільтрів переписуються з реєстраційного журналу

Назва дослідкуваної речовини, інгредієнта	Результат дослідження концентрацій в одиницях виміру				НТД на методи дослідження	
	разова		середньодобова			
	виявлене МГ/М ³	ГДК МГ/М ³	виявлене МГ/М ³	ГДК МГ/М ³		
13	14	15	16	17	18	
азоту діоксид	0,065	0,2			«Руководство по эксплуатации АГАТ.468514.004-159РЭ»	
азоту діоксид	0,072	0,2				
азоту діоксид	0,075	0,2				
ангідрід сірчистий	0,10	0,5			«Руководство по эксплуатации АГАТ.468514.004-159РЭ»	
ангідрід сірчистий	0,10	0,5				
ангідрід сірчистий	0,11	0,5				
тил недиференційований	менше 0,26*	0,5			RД 52.04.186-89	
тил недиференційований	0,26	0,5				
тил недиференційований	менше 0,26*	0,5				
залізо	менше 0,014*	не норму- ється		0,04	MB 7.2/07.03-2020	
залізо	менше 0,014*			0,04		
залізо	менше 0,014*			0,04		
свинець	менше 0,0005*	0,001			РД 52.04.186-89	
свинець	менше 0,0005*	0,001				
свинець	менше 0,0005*	0,001				
хром	менше 0,0008*	0,0015			РД 52.04.186-89	
хром	менше 0,0008*	0,0015				
хром	менше 0,0008*	0,0015				
вуглецю оксид	1,61	5,0			РД 52.04.186-89	
вуглецю оксид	1,59	5,0				
вуглецю оксид	1,60	5,0				
вуглесодні насичені в перерахунку на сумарний вуглець	0,4	не норму- ється			Методы определения загрязняющих веществ в атмосферном воздухе населенных мест.	
	0,51					
	0,51					
марганець	менше 0,001*	0,01			РД 52.04.186-89	
марганець	менше 0,001*	0,01				
марганець	менше 0,001*	0,01				

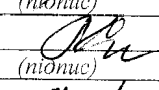
* - нижня межа вимірювання концентрації

Дослідження проводив

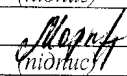
Біолог Інна ПОЗИГУН


(підпис)

Інженер СГЛ Темяна МОСКАЛЕНКО


(підпис)

Фельдшер-лаборант Людмила МАРКОВИЧ


(підпис)

Висновок санітарного лікаря

Досліджені проби атмосферного повітря на час проведення досліджень не перевищують гранично допустимі концентрації ГДК відповідно до вимог наказу МОЗ України від 14.01.2020 р. №52 «Про затвердження гігієнічних регламентів допустимого смісту хімічних і біологічних речовин в атмосферному повітрі населених місць».

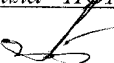
Санітарний лікар :

Лікар з комунальної гігієни Ольга ШВЕЦОВА


(підпис)

Завідувач відділенням

СГЛ Людмила ПОГОРЕЛОВА


(підпис)

М



Міністерство охорони здоров'я України Найменування закладу Відокремлений структурний підрозділ «Криворізький РВ» ДУ «Дніпропетровський ОЦКПХ МОЗ» Вул. Володимира Великого, 21 Свідоцтво про технічну компетентність №04/18 від 15.05.2018 р.	МЕДИЧНА ДОКУМЕНТАЦІЯ ФОРМА № 329/о Затверджена наказом МОЗ України 11.07.2000 р № 160
--	--

ПРОТОКОЛ* № 750-776
дослідження повітря населених місць
« 22 » березня 2022 року

Місце відбору проби повітря : АТ «ПІВДЕННИЙ ГІРНИЧО-ЗБАГАЧУВАЛЬНИЙ КОМБІНАТ»
50026, Дніпропетровська область, м. Кривий Ріг

Мета відбору: відповідно до договору № 2342/975 від 30.11.2021 р

Вид проби (разова, середньодобова): разова

Дата і час відбору: 22.03.2022 р. 12¹⁰-14⁴⁰ доставки: 22.03.2022 р. 15⁰⁵

Умови транспортування: автотранспорт зберігання: згідно РД 52.04.186-89

Методи консервації: не застосовувались

Засоби вимірювання, які застосовуються при відборі : Метеоскоп М № 425919 ;

Електроаспіратор ASA-4M №1194; Електроаспіратор ASA-2M №1017 ; ДОЗОР-С-М-4 №1671

Інформація про державну повірку:

Свідоцтво №СК-05/2025 К від 05.05.2021 р. ;

Свідоцтво №00188/21 від 29.01.2021 р.;

Свідоцтво №СК-04539/21 від 02.11.2021 р.;

Свідоцтво №UA/12-01/200720/0141 від 20.07.2020 р.

Характеристика району проведення дослідження (жилий квартал, промисловий район, межа санітарно-захисної зони тощо) : приблизна межа санітарно-захисної зони

Характеристика поверхні місцевості (асфальт, твердий ґрунт, газон, зелені насадження) і рельєфа
твердий ґрунт, рельєф рівний

Характеристика джерел забруднення, висота джерел викидів над поверхнею землі (м)

мінімальна-максимальна: не надано

Потужність викиду інгредієнтів, за якими ведеться контроль (г/сек) за даними статистичної звітності
підприємства : не надано

Відстань від джерел забруднення : приблизно 600 м

Форма факелу : відсутній

Ескіз місцевості з вказівкою джерела забруднення і точок відбору проб повітря

(порядковий номер точок відбору)

↑ півн

зах — — схід

2.

| nібг

НГД, згідно якої проводився відбір: РД 52.04.186-89 «Руководство по контролю загрязнения
атмосферы»

Посада, прізвище особи, яка провела відбір проб :

Фельдшер-лаборант Людмила МАРКОВИЧ

Марф

(підпис)

Протокол складається в двох примірниках

*Номера поглиначів та фільтрів переписуються з реєстраційного журналу

Назва дослідження речовини, інгредієнта	Результат дослідження концентрації в одиницях виміру				НТД на методи дослідження	
	разова		середньодобова			
	виявлене МГ/М ³	ГДК МГ/М ³	виявлене МГ/М ³	ГДК МГ/М ³		
13	14	15	16	17	18	
азоту діоксид	0,070	0,2			«Руководство по эксплуатации АГАТ.468514.004-159РЭ»	
азоту діоксид	0,065	0,2				
азоту діоксид	0,059	0,2				
ангідрид сірчистий	0,11	0,5			«Руководство по эксплуатации АГАТ.468514.004-159РЭ»	
ангідрид сірчистий	0,11	0,5				
ангідрид сірчистий	0,09	0,5				
тил недиференційований	0,26	0,5			РД 52.04.186-89	
тил недиференційований	0,26	0,5				
тил недиференційований	0,26	0,5				
залізо	меніше 0,014*	не норму- ється		0,04	МВ 7.2/07.03-2020	
залізо	меніше 0,014*			0,04		
залізо	меніше 0,014*			0,04		
свинець	меніше 0,0005*	0,001			РД 52.04.186-89	
свинець	меніше 0,0005*	0,001				
свинець	меніше 0,0005*	0,001				
хром	меніше 0,0008*	0,0015			РД 52.04.186-89	
хром	меніше 0,0008*	0,0015				
хром	меніше 0,0008*	0,0015				
углецю оксид	1,14	5,0			РД 52.04.186-89	
углецю оксид	1,05	5,0				
углецю оксид	1,02	5,0				
углеводні насичені в перерахунку на сумарний углець	0,56	не норму- ється			Методы определения загрязняющих веществ в атмосферном воздухе населенных мест.	
	0,56					
	0,53					
марганець	меніше 0,001*	0,01			РД 52.04.186-89	
марганець	меніше 0,001*	0,01				
марганець	меніше 0,001*	0,01				

* - нижня межа вимірювання концентрації

Дослідження проводив

Біолог Інна ПОЗІГУН

(підпис)

Інженер СГЛ Тетяна МОСКАЛЕНКО

(підпис)

Фельдшер-лаборант Людмила МАРКОВИЧ

(підпис)

Висновок санітарного лікаря

Досліджені проби атмосферного повітря на час проведення досліджень не перевищують гранично допустимі концентрації ГДК відповідно до вимог наказу МОЗ України від 14.01.2020 р. №52 «Про затвердження гігієнічних регламентів допустимого вмісту хімічних і біологічних речовин в атмосферному повітрі населених місць».

Санітарний лікар :

Лікар з комунальної гігієни Ольга ШВЕЦОВА

(підпис)

Завідувач відділенням

СГЛ Людмила ПОГОРЕЛОВА

(підпис)

МП



Міністерство охорони здоров'я України Найменування закладу Відокремлений структурний підрозділ «Криворізький районний відділ ДУ «Дніпропетровський ОЦКПХ МОЗ» Вул. Володимира Великого, 21 Свідоцтво про технічну компетентність №04/18 від 15.05.2018 р.	МЕДИЧНА ДОКУМЕНТАЦІЯ ФОРМА № 329/о Затверджена наказом МОЗ України 11.07.2000 р № 160
--	--

ПРОТОКОЛ* № 610-636
дослідження повітря населених місць
«18» березень 2022 року

Місце відбору проби повітря : АТ «ПІВДЕННИЙ ГІРНИЧО-ЗБАГАЧУВАЛЬНИЙ КОМБІНАТ»
 50026, Дніпропетровська область, м. Кривий Ріг

Мета відбору: відповідно до договору №2342/975 від 30.11.2021 р.

Вид проби (разова, середньодобова): разова

Дата і час відбору: 18.03.2022 р. 9⁰⁵-11⁴⁰

доставки: 18.03.2022 р. 15¹⁰

Умови транспортування: автотранспорт

зберігання: згідно з РД 52.04.186-89

Методи консервації: не застосовувались

Засоби вимірювання, які застосовуються при відборі : Метеоскоп М №425919 ;

Електроаспіратор ASA-4M №1194; Електроаспіратор ASA-2M №1017 ; ДОЗОР-С-М-4 №1671

Інформація про державну повірку:

Свідоцтво №СК-05/2025 К від 05.05.2021 р. ;

Свідоцтво №00188/21 від 29.01.2021 р.;

Свідоцтво №СК-04539/21 від 02.11.2021 р.;

Свідоцтво №UA/I2-01/200720/0141 від 20.07.2020 р.

Характеристика району проведення дослідження (жилий квартал, промисловий район, межа санітарно-захисної зони тощо) : приблизна межа санітарно-захисної зони

Характеристика поверхні місцевості (асфальт, твердий ґрунт, газон, зелені насадження) і рельєфа : твердий ґрунт, рельєф горбистий

Характеристика джерел забруднення, висота джерел викидів над поверхнею землі (м)

мінімальна-максимальна: не надано

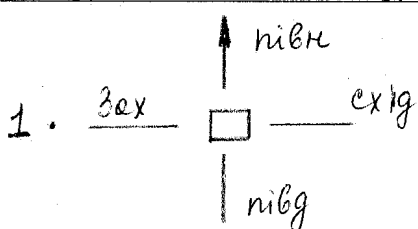
Потужність викиду інгредієнтів, за якими ведеться контроль (г/сек) за даними статистичної звітності підприємства : не надано

Відстань від джерел забруднення : приблизно 300 м

Форма факелу : відсутній

Ескіз місцевості з вказівкою джерела забруднення і точок відбору проб повітря

(порядковий номер точок відбору)



НТД, згідно якої проводився відбір: РД 52.04.186-89 «Руководство по контролю загрязнения атмосферы»

Посада, прізвище особи, яка провела відбір проб :

Фельдшер-лаборант Людмила МАРКОВИЧ

Марф

(підпис)

Протокол складається в двох примірниках

*Номера поглиначів та фільтрів переписуються з реєстраційного журналу

Назва досліджуvalної речовини, інгредієнта	Результат дослідження концентрації в одиницях виміру				НТД на методи дослідження	
	разова		середньодобова			
	виявлене мг/м ³	ГДК мг/м ³	виявлене мг/м ³	ГДК мг/м ³		
13	14	15	16	17	18	
азоту діоксид	0,074	0,2			«Руководство по эксплуатации АГАТ.468514.004-159РЭ»	
азоту діоксид	0,066	0,2				
азоту діоксид	0,082	0,2				
ангідрід сірчистий	0,11	0,5			«Руководство по эксплуатации АГАТ.468514.004-159РЭ»	
ангідрід сірчистий	0,16	0,5				
ангідрід сірчистий	0,19	0,5				
тил недиференційований	0,26	0,5			RД 52.04.186-89	
тил недиференційований	менше 0,26*	0,5				
тил недиференційований	0,26	0,5				
залізо	менше 0,014*	не нормуються		0,04	МВ 7.2/07.02-2020	
залізо	менше 0,014*			0,04		
залізо	менше 0,014*			0,04		
свинець	менше 0,0005*	0,001			РД 52.04.186-89	
свинець	менше 0,0005*	0,001				
свинець	менше 0,0005*	0,001				
хром	менше 0,0008*	0,0015			РД 52.04.186-89	
хром	менше 0,0008*	0,0015				
хром	менше 0,0008*	0,0015				
углецю оксид	1,25	5,0			РД 52.04.186-89	
углецю оксид	1,34	5,0				
углецю оксид	1,32	5,0				
углеводні насиченні в перерахунку на сумарний вуглець	0,3	не нормуються			Методы определения загрязняющих веществ в атмосферном воздухе населенных мест.	
	0,34					
	0,22					
марганець	менше 0,001*	0,01			РД 52.04.186-89	
марганець	менше 0,001*	0,01				
марганець	менше 0,001*	0,01				

* - нижня межа вимірювання концентрації

Дослідження проводив
Біолог Інна ПОЗІГУН

(підпис)

Інженер СГЛ Тетяна МОСКАЛЕНКО

(підпис)

Фельдшер-лаборант Людмила МАРКОВИЧ

(підпис)

Висновок санітарного лікаря

Досліженні проби атмосферного повітря на час проведення дослідження не перевищують гранично допустимі концентрації ГДК відповідно до вимог наказу МОЗ України від 14.01.2020 р. №52 «Про затвердження гігієнічних регламентів допустимого вмісту хімічних і біологічних речовин в атмосферному повітрі населених місць».

Санітарний лікар :

Лікар з комунальної гігієни Ольга ШВЕЦОВА



(підпис)

Завідувач відділенням

СГЛ Людмила ПОГОРЕЛОВА



(підпис)



ПРОТОКОЛ

вимірювань параметрів викидів забруднюючих речовин в атмосферне повітря на межі санітарно-захисної зони, а також експериментальні дослідження запиленості та загазованості атмосфери на межі санітарно - захисної зони при проведенні масових вибухів на кар'єрі

Дата та час вимірювань 12 січня 2021 р. 12 г. 00 хв.

Місце проведення масового вибуху: кар'єр рудоуправління АТ «ПІВДГЗК»

Горизонт -255/-270 м

Тип та планований обсяг підриваємих порід: руда – 200000 м³
всього гірнича маса – 200000 м³

Тип та планована кількість вибухової речовини: всього ВР – 239050 кг , у т.ч.: емоніт Н - 239050 кг

Заходи з пилоподавлення: - зарядка свердловин збалансованими по кисневому балансу речовинами, емульсійними ВР
- застосування «внутрішньої гідрозабивки» свердловин
- підтримання в умовах «затиснутого» середовища
- зустрічне ініціювання
- інертна порожнина або інертний проміжок

Місце відбору проб біля будівлі господарської ділянки РУ АТ «ПІВДГЗК»

Засоби вимірювальної техніки, що використовуються під час вимірювань, та відомості щодо їх повірки

Барометр-анероїд БАММ-1	14991	Св. № 278805 до 27.04.2022 р.
Ваги лабораторні електронні AS 220/C	343793	Св. № 292286 до 18.06.2022 р.
Фотометр фотоелектричний КФК-3-01 «ЗОМЗ»	№ 1470113	Св. № 278807 до 16.04.2022 р.
Ротаметр Р 20	9004117	Св. № 275992 до 07.04.2022 р.
Ротаметр Р 20	2012.352	Св. № 275990 до 07.04.2022 р.
Ротаметр Р 40	05.06.27	Св. № 275991 до 07.04.2022 р.
Гігрометр псіхрометричний	H351	Св. № 278806 до 23.04.2022 р.

Атмосферний тиск, мм.рт.ст. 757

Напрямок вітру північно-західний

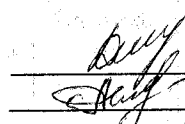
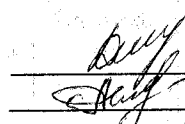
Швидкість вітру, м/с 7,0

Температура повітря перед ротаметром, °C -7

Характеристика погодних умов похмуро

Забруднююча речовина	№ фільтру	Витрата повітря через ротаметр, л/хв.	Час відбору, хв.	Вимірюваний об'єм повітря, л	Об'єм повітря, що приведений до н.у., л	Наважка, мг	Концентрація забруднюючої речовини мг/м ³	Прим.
Пил	24/1	80	25	2000	2044,53	0,55	0,27	фон
NO ₂						-	0,009	
CO						-	1,05	
Пил	25/1	80	25	2000	2044,53	0,60	0,29	після вибуху
NO ₂							0,012	
CO							1,18	

Виміри виконали:
Представник підприємства:

 К.В. Алексеенко
 А.С. Шевченко

ПРОТОКОЛ

вимірювань параметрів викидів забруднюючих речовин в атмосферне повітря на межі санітарно-захисної зони, а також експериментальні дослідження запиленості та загазованості атмосфери на межі санітарно - захисної зони при проведенні масових вибухів на кар'єрі

Дата та час вимірювань 26 січня 2022 р. 12 г. 00 хв.

Місце проведення масового вибуху: кар'єр рудоуправління АТ «ПІВДГЗК»

Горизонт -330/-345 м, -330/-345 м, -255/-270 м, -180/-210 м,
-180/195 м, -105/-120 м, -75/-90 м, -75/-90 м

Тип та планований обсяг підриваємих порід: руда – 359,0 тис. м³, камінь – 208,5 тис. м³
всього гірничого маса – 567,5 тис. м³

Тип та планована кількість вибухової речовини: всього ВР – 642,45 т, у т.ч.:
безтротилові – 642,45 т

Заходи з пилоподавлення: - зарядка свердловин збалансованими по кисневому балансу
речовинами, емульсійними ВР
- застосування «внутрішньої гідрозабивки» свердловин
- підривання в умовах «затиснутого» середовища
- зустрічне ініціювання
- інертна порожнина або інертний проміжок

Місце відбору проб кінець вул. Мотронівська

Засоби вимірювальної техніки, що використовуються під час вимірювань, та відомості щодо їх повірки

Барометр-анероїд БАММ-1	14991	Св. № 278805 до 27.04.2022 р.
Ваги лабораторні електронні AS 220/C	343793	Св. № 292286 до 18.06.2022 р.
Фотометр фотоелектричний КФК-3-01 «ЗОМЗ»	№ 1470113	Св. № 278807 до 16.04.2022 р.
Ротаметр Р 20	9004117	Св. № 275992 до 07.04.2022 р.
Ротаметр Р 20	2012.352	Св. № 275990 до 07.04.2022 р.
Ротаметр Р 40	05.06.27	Св. № 275991 до 07.04.2022 р.
Гігрометр псіхрометричний	H351	Св. № 278806 до 23.04.2022 р.

Атмосферний тиск, мм.рт.ст. 752

Напрямок вітру південно-західний

Швидкість вітру, м/с 4,0

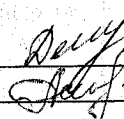
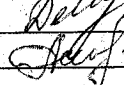
Температура повітря перед ротаметром, °C -6

Характеристика погодних умов похмуро

Забруднююча речовина	№ фільтру	Витрата повітря через ротаметр, л/хв.	Час відбору, хв.	Вимірюваний об'єм повітря, л	Об'єм повітря, що приведений до н.у., л	Наважка, мг	Концентрація забруднюючої речовини мг/м ³	Прим.
Пил	44/1	80	25	2000	2023,42	0,50	0,25	фон
NO ₂						-	0,005	
CO						-	0,94	
Пил	45/1	80	25	2000	2023,42	0,55	0,27	після вибуху
NO ₂							0,009	
CO							1,12	

Виміри виконали:

Представник підприємства:

 К.В. Алексєєнко
 А.С. Шевченко

ПРОТОКОЛ

вимірювань параметрів викидів забруднюючих речовин в атмосферне повітря на межі санітарно-захисної зони, а також експериментальні дослідження запиленості та загазованості атмосфери на межі санітарно-захисної зони при проведенні масових вибухів на кар'єрі

Дата та час вимірювань	09	лютого	2021 р.	12 г.	00 хв.
Місце проведення масового вибуху:		кар'єр рудоуправління АТ «ПІВДГЗК»			
Горизонт		-330/-345 м, -255/-270 м, -105/-120 м, -90/-105 м, -75/-90 м,			
		-30/-60 м			
Тип та планований обсяг підриваємих порід:		руда – 350,7 тис. м ³ , скала – 190,9 тис. м ³ всього гірнича маса – 541,6 тис. м ³			
Тип та планована кількість вибухової речовини:		всього ВР – 614,35 кг, у т.ч.: безтротилові ВР – 614,35 т			

Заходи з пилоподавлення:
 - зарядка свердловин збалансованими по кисневому балансу речовинами, емульсійними ВР
 - застосування «внутрішньої гідрозабивки» свердловин
 - підривання в умовах «затиснутого» середовища
 - зустрічне ініціювання
 - інертна порожнина або інертний проміжок

Місце відбору проб вул. Туринська, б. 28

Засоби вимірювальної техніки, що використовуються під час вимірювань, та відомості щодо їх повірки

Барометр-анероїд БАММ-1	14991	Св. № 278805 до 27.04.2022 р.
Ваги лабораторні електронні AS 220/C	343793	Св. № 292286 до 18.06.2022 р.
Фотометр фотоелектричний КФК-3-01 «ЗОМЗ»	№ 1470113	Св. № 278807 до 16.04.2022 р.
Ротаметр Р 20	9004117	Св. № 275992 до 07.04.2022 р.
Ротаметр Р 20	2012.352	Св. № 275990 до 07.04.2022 р.
Ротаметр Р 40	05.06.27	Св. № 275991 до 07.04.2022 р.
Гігрометр псіхрометричний	H351	Св. № 278806 до 23.04.2022 р.

Атмосферний тиск, мм.рт.ст.

752

Напрямок вітру

західний

Швидкість вітру, м/с

2,0

Температура повітря перед ротаметром, °C

-1

Характеристика погодних умов

похмуро

Забруднююча речовина	№ фільтру	Витрата повітря через ротаметр, л/хв.	Час відбору, хв.	Вимірюваний об'єм повітря, л	Об'єм повітря, що приведен до н.у., л	Наважка, мг	Конcenтрація забруднюючої речовини мг/м ³	Прим.
Пил	10/2	80	25	2000	1986,22	0,50	0,25	фон
NO ₂						-	0,011	
CO						-	1,17	
Пил	11/2	80	25	2000	1986,22	0,65	0,33	після вибуху
NO ₂							0,021	
CO							1,45	

Виміри виконали:

О.В. Демонштейн

Представник підприємства:

О.І. Обльотова

ПРОТОКОЛ

вимірювань параметрів викидів забруднюючих речовин в атмосферне повітря на межі санітарно-захисної зони, а також експериментальні дослідження запиленості та загазованості атмосфери на межі санітарно-захисної зони при проведенні масових вибухів на кар'єрі

Дата та час вимірювань 23 лютого 2021 р. 12 г. 00 хв.

Місце проведення масового вибуху: кар'єр рудоуправління АТ «ПІВДГЗК»

Горизонт -330/-345 м, -255/-270 м, -225 (подб.), -195/-210 м,
-105/-120 м, -90/-105 м, -30/-60 м

Тип та планований обсяг підриваємих порід: руда – 426,9 тис. м³, камінь – 36,7 тис. м³
всього гірничого маса – 463,6 тис. м³

Тип та планована кількість вибухової речовини: всього ВР – 547,68 кг, у т.ч.:
безтротилові ВР – 547,68 т

Заходи з пилоподавлення: - зарядка свердловин збалансованими по кисневому балансу речовинами, емульсійними ВР
- застосування «внутрішньої гідрозабивки» свердловин
- підтривання в умовах «затиснутого» середовища
- зустрічне ініціювання
- інертна порожнина або інертний проміжок

Місце відбору проб 50 м від повороту з широківської дороги на ланкозбіркову базу УЗДТ

Засоби вимірювальної техніки, що використовуються під час вимірювань, та відомості щодо їх повірки

Барометр-анероїд БАММ-1	14991	Св. № 278805 до 27.04.2022 р.
Ваги лабораторні електронні AS 220/C	343793	Св. № 292286 до 18.06.2022 р.
Фотометр фотоелектричний КФК-3-01 «ЗОМЗ»	№ 1470113	Св. № 278807 до 16.04.2022 р.
Ротаметр Р 20	9004117	Св. № 275992 до 07.04.2022 р.
Ротаметр Р 20	2012.352	Св. № 275990 до 07.04.2022 р.
Ротаметр Р 40	05.06.27	Св. № 275991 до 07.04.2022 р.
Гігрометр псіхрометричний	H351	Св. № 278806 до 23.04.2022 р.

Атмосферний тиск, мм.рт.ст. 749

Напрямок вітру північний

Швидкість вітру, м/с 2,0

Температура повітря перед ротаметром, °C +9

Характеристика погодних умов малохмарно

Забруднююча речовина	№ фільтру	Витрата повітря через ротаметр, л/хв.	Час відбору, хв.	Вимірюваний об'єм повітря, л	Об'єм повітря, що приведений до н.у., л	Наважка, мг	Концентрація забруднюючої речовини мг/м ³	Прим.
Пил	32/2	80	25	2000	1908,15	0,50	0,26	фон
NO ₂						-	0,009	
CO						-	0,95	
Пил	33/2	80	25	2000	1908,15	0,60	0,31	після вибуху
NO ₂							0,014	
CO							1,25	

Виміри виконали:

Представник підприємства:

О.В. Демонштейн
А.С. Шевченко

ПРОТОКОЛ

вимірювань параметрів викидів забруднюючих речовин в атмосферне повітря на межі санітарно-захисної зони, а також експериментальні дослідження запиленості та загазованості атмосфери на межі санітарно-захисної зони при проведенні масових вибухів на кар'єрі

Дата та час вимірювань 16 березня 2021 р. 12 г. 00 хв.

Місце проведення масового вибуху: кар'єр рудоуправління АТ «ПІВДГЗК»

Горизонт -330/-345 м, -255/-270 м, -240/-255 м, -90/-105 м, -30/-60 м

Тип та планований обсяг підриваємих порід: руда – 228,6 тис. м³, скала – 125,2 тис. м³
всього гірничого маса – 353,8 тис. м³

Тип та планована кількість вибухової речовини: всього ВР – 401,20 т, у т.ч.:
безтротилові ВР – 401,20 т

Заходи з пилоподавлення: - зарядка свердловин збалансованими по кисневому балансу речовинами, емульсійними ВР
- застосування «внутрішньої гідрозабивки» свердловин
- підривання в умовах «затиснутого» середовища
- зустрічне ініціювання
- інертна порожнина або інертний проміжок

Місце відбору проб бетонна дорога, поворот на селище Рудничне

Засоби вимірювальної техніки, що використовуються під час вимірювань, та відомості щодо їх повірки

Барометр-анероїд БАММ-1	14991	Св. № 278805 до 27.04.2022 р.
Ваги лабораторні електронні AS 220/C	343793	Св. № 292286 до 18.06.2022 р.
Фотометр фотоелектричний КФК-3-01 «ЗОМЗ»	№ 1470113	Св. № 278807 до 16.04.2022 р.
Ротаметр Р 20	9004117	Св. № 275992 до 07.04.2022 р.
Ротаметр Р 20	2012.352	Св. № 275990 до 07.04.2022 р.
Ротаметр Р 40	05.06.27	Св. № 275991 до 07.04.2022 р.
Гігрометр псіхрометричний	H351	Св. № 278806 до 23.04.2022 р.

Атмосферний тиск, мм.рт.ст. 764

Напрямок вітру східний

Швидкість вітру, м/с 7,0

Температура повітря перед ротаметром, °C +1

Характеристика погодних умов хмарно

Забруднююча речовина	№ фільтру	Витрата повітря через ротаметр, л/хв.	Час відбору, хв.	Вимірюваний об'єм повітря, л	Об'єм повітря, що приведен до н.у., л	Наважка, мг	Концентрація забруднюючої речовини мг/м ³	Прим.
Пил	12/3	80	25	2000	2003,19	0,60	0,30	фон
NO ₂						-	0,011	
CO						-	1,24	
Пил	13/3	80	25	2000	2003,19	0,65	0,32	після вибуху
NO ₂							0,019	
CO							1,52	

Виміри виконали:

Представник підприємства:

О.В. Демонштейн
А.С. Шевченко

ПРОТОКОЛ

вимірювань параметрів викидів забруднюючих речовин в атмосферне повітря на межі санітарно-захисної зони, а також експериментальні дослідження запиленості та загазованості атмосфери на межі санітарно-захисної зони при проведенні масових вибухів на кар'єрі

Дата та час вимірювань 23 березня 2021 р. 12 г. 00 хв.

Місце проведення масового вибуху: кар'єр рудоуправління АТ «ПІВДГЗК»

Горизонт -330/-345 м, -315/-330 м, -90/-105 м, -75/-90 м

Тип та планований обсяг підриваємих порід: руда – 276,8 тис. м³, скала – 49,3 тис. м³
всього гірнича маса – 326,1 тис. м³

Тип та планована кількість вибухової речовини: всього ВР – 381,2 т, у т.ч.:
безтротилові ВР – 381,2 т

Заходи з пилоподавлення:
- зарядка свердловин збалансованими по кисневому балансу речовинами, емульсійними ВР
- застосування «внутрішньої гідрозабивки» свердловин
- підривання в умовах «затиснутого» середовища
- зустрічне ініціювання
- інертна порожнина або інертний проміжок

Місце відбору проб бетонна дорога, поворот на селище Рудничне

Засоби вимірювальної техніки, що використовуються під час вимірювань, та відомості щодо їх повірки

Барометр-анероїд БАММ-1	14991	Св. № 278805 до 27.04.2022 р.
Ваги лабораторні електронні AS 220/C	343793	Св. № 292286 до 18.06.2022 р.
Фотометр фотоелектричний КФК-3-01 «ЗОМЗ»	№ 1470113	Св. № 278807 до 16.04.2022 р.
Ротаметр Р 20	9004117	Св. № 275992 до 07.04.2022 р.
Ротаметр Р 20	2012.352	Св. № 275990 до 07.04.2022 р.
Ротаметр Р 40	05.06.27	Св. № 275991 до 07.04.2022 р.
Гігрометр психрометричний	H351	Св. № 278806 до 23.04.2022 р.

Атмосферний тиск, мм.рт.ст. 761

Напрямок вітру східний

Швидкість вітру, м/с 1,0

Температура повітря перед ротаметром, °C +14

Характеристика погодних умов сонячно

Забруднююча речовина	№ фільтру	Витрата повітря через ротаметр, л/хв.	Час відбору, хв.	Вимірюваний об'єм повітря, л	Об'єм повітря, що приведен до н.у., л	Наважка, мг	Концентрація забруднюючої речовини мг/м ³	Прим.
Пил	16/3	80	25	2000	1904,94	0,50	0,26	фон
NO ₂						-	0,008	
CO						-	1,10	
Пил	17/3	80	25	2000	1904,94	0,55	0,29	після вибуху
NO ₂							0,015	
CO							1,23	

Виміри виконали: О.В. Демонштейн

Представник підприємства: А.С. Шевченко

**ВІДОКРЕМЛЕНИЙ СТРУКТУРНИЙ ПІДРОЗДІЛ
«КРИВОРІЗЬКИЙ РАЙОННИЙ ВІДДІЛ
ДЕРЖАВНОЇ УСТАНОВИ «ДНІПРОПЕТРОВСЬКИЙ
ОБЛАСНИЙ ЦЕНТР КОНТРОЛЮ ТА ПРОФІЛАКТИКИ
ХВОРОБ МІНІСТЕРСТВА ОХОРОНИ ЗДОРОВ'Я
УКРАЇНИ»**

тел.(0564)94-72-98 E-mail: dolc.vsp.9@phc.dp.ua
(повне найменування лабораторії)

Свідоцтво про технічну компетентність

№ 04/18 від 15.05.2018р.

Додаток 9

до Порядку атестації лабораторій
на проведення гігієнічних досліджень
факторів виробничого середовища
і трудового процесу
(пункт 11)

ПРОТОКОЛ № 113-114 від 22.03.2022 р.

(номер, дата)

проведення досліджень шумового навантаження та інфразвуку

1. Дата проведення дослідження **18 березня 2022 року**
2. Підприємство, адреса, цех, відділення : **АТ «Південний ГЗК »
Дніпропетровська область, м. Кривий Ріг**
3. Робоче місце (професія), технологічний процес, що виконується
Санітарно-захисна зона.
4. Мета дослідження: **Відповідно до договору № 2342/975 від 30.11.2021 р.**
5. Засоби вимірювальної техніки **аналізатор шуму та вібрації АССИСТЕНТ № 357821**
(найменування, тип, заводський номер)
6. Відомості про повірку **свідоцтво № UA/22/210721/001564 чинне від 21.07.2021 р.**
(номер свідоцства, термін дії)
7. Нормативні документи, відповідно до яких:
 - a) **МВ 7.2/07.33 Методи вимірювання шуму на селитебній території та в приміщеннях житлових та громадських будівель** (проводиться дослідження)
 - b) **Державні санітарні норми допустимих рівнів шуму в приміщеннях житлових та громадських будинків і на території житлової забудови, затверджені наказом МОЗ від 22.02.2019 р № 463** (оцінюються результати)
8. Представник лабораторії (або фізична особа - підприємець)
Головний фахівець з екології-начальник відділу охорони навколишнього середовища Наталія БІЛИК
(посада, Власне ім'я ПРІЗВИЩЕ, підпис)
9. Посада, Власне ім'я ПРІЗВИЩЕ особи, що проводили випробування:
Біолог Інна ПОЗІГУН 
(підпис)

10. Результати дослідження постійного шуму/інфразвуку

(підкреслити потрібне)

Робоче місце (робоча зона), джерело шуму/ інфразвуку, назва, тип машин, обладнання, що використовується	Рівень звукового тиску (дБ) в середньо-геометричних октавних смугах частот, Гц	Рівень шуму/ загальний рівень звукового тиску, дБА/дБ Лін
Границю допустимий рівень (ГДР)		

11. Результати дослідження непостійного шуму/інфразвуку

(підкреслити потрібне)

Робоче місце (робоча зона), джерело шуму/інфразвуку, назва, тип машин, обладнання, що використовується	Рівень шуму/ загальний рівень звукового тиску, дБА/дБ Лін,	Трива- лість дії, хв	Еквівалентний рівень шуму/загальний еквівалентний рівень звукового тиску, дБА _{екв} /дБ Лін _{екв}	Максимальний рівень шуму, дБА (дБАІ)
1	2	3	4	5
В західному напрямку від відвалу «Лівобережний»			47 дБА	
с.Рахманівка, сул. Чеботарьова, санітарно-захисна зона – 300 м				
В південно-західному напрямку від відвалу «Лівобережний»			48 дБА	
с. Новоселівка, сул. Мир, санітарно-захисна зона – 300 м				
Границю допустимий рівень (ГДР) Державні санітарні норми допустимих рівнів шуму в приміщеннях житлових та громадських будинків і на території житлової забудови, затверджені наказом МОЗ від 22.02.2019 р № 463 (55 дБА 70 дБА Max)				

Дослідження проводив: Фельдшер-лаборант Людмила МАРКОВИЧ ЛЮДМИЛА МАРКОВИЧ (підпис)
(посада. Власне ім'я ПРІЗВИЩЕ особи)

ОЗЗ від шуму – не використовують

Примітка: У випадку вимірювання шуму інтегруючими вимірювачами чи обчислення за допомогою часткових індексів вказують тільки еквівалентний та максимальний рівні шуму.

Висновок: (відповідність нормативу, оцінка за Гігієнічною класифікацією праці за показниками шкідливості та небезпечності факторів виробничого середовища, важкості та напруженості трудового процесу)

Еквівалентний рівень шуму на кордоні санітарно-захисної зони АТ « Південний ГЗК »
в західному напрямку від відвалу «Лівобережний» с. Рахманівка, вул. Чеботарьова, в
південно-західному напрямку від відвалу «Лівобережний» с. Новоселівка, вул. Миру під час
проведення вимірювань знаходитьться в межах допустимих санітарних норм, згідно Державних
санітарних норм допустимих рівнів шуму в приміщеннях житлових та громадських будинків і на
території житлової забудови, затверджених наказом МОЗ від 22.02.2019 р № 463 .



Лікар з комунальної гігієни Ольга ШВЕЦОВА

(посада, Власне ім'я ПРІЗВИЩЕ особи)


(підпис)

Завідувач санітарно-гігієнічної лабораторії
Людмила ПОГОРЕЛОВА

(Власне ім'я ПРІЗВИЩЕ, керівника лабораторії,
фізичної особи - підприємця)


(підпис)

**ВІДОКРЕМЛЕНИЙ СТРУКТУРНИЙ ПІДРОЗДІЛ
«КРИВОРІЗЬКИЙ РАЙОННИЙ ВІДДІЛ
ДЕРЖАВНОЇ УСТАНОВИ «ДНІПРОПЕТРОВСЬКИЙ
ОБЛАСНИЙ ЦЕНТР КОНТРОЛЮ ТА ПРОФІЛАКТИКИ
ХВОРОБ МІНІСТЕРСТВА ОХОРОНИ ЗДОРОВ'Я
УКРАЇНИ»**

тел.(0564)94-72-98 E-mail: dolc.vsp.9@phc.dp.ua

(повне найменування лабораторії)

Свідоцтво про технічну компетентність

№ 04/18 від 15.05.2018р.

Додаток 9

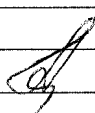
до Порядку атестації лабораторій
на проведення гігієнічних досліджень
факторів виробничого середовища
і трудового процесу

(пункт 11)

ПРОТОКОЛ № 145-146 від 28.03.2022 р.

(номер, дата)

проведення досліджень шумового навантаження та інфразвуку

1. Дата проведення дослідження **23 березня 2022 року**
2. Підприємство, адреса, цех, відділення : **АТ «Південний ГЗК»**
Дніпропетровська область, м. Кривий Ріг
3. Робоче місце (професія), технологічний процес, що виконується
Санітарно-захисна зона.
4. Мета дослідження: **Відповідно до договору № 2342/975 від 30.11.2021 р.**
5. Засоби вимірювальної техніки **аналізатор шуму та вібрації АССИСТЕНТ № 357821**
(найменування, тип, заводський номер)
6. Відомості про повірку **свідоцтво № UA/22/210721/001564 чинне від 21.07.2021 р.**
(номер свідоцства, термін дії)
7. Нормативні документи, відповідно до яких:
a) **МВ 7.2/07.33 Методи вимірювання шуму на селитебній території та в приміщеннях житлових та громадських будівель** (проводиться дослідження)
- 6) **Державні санітарні норми допустимих рівнів шуму в приміщеннях житлових та громадських будинків і на території житлової забудови, затверджені наказом МОЗ від 22.02.2019 р № 463**
(оцінюються результати)
8. Представник лабораторії (або фізична особа - підприємець)
Головний фахівець з екології-начальник відділу охорони навколишнього середовища Наталія БІЛИК
(посада, Власне ім'я ПРІЗВИЩЕ, підпис)
9. Посада, Власне ім'я ПРІЗВИЩЕ особи, що проводили випробування:
Біолог Інна ПОЗІГУН 
(підпис)

10. Результати дослідження постійного шуму/інфразвуку

(підкреслені потрібне)

Робоче місце (робоча зона), джерело шуму/ інфразвуку, назва, типу машини, обладнання, що використовуються	Рівень звукового тиску (дБ) в середньогеометричних октавних смугах частот, Гц									
Границя допустимий рівень (ГДР)										

11. Результати дослідження нестійкого шуму/інфразвуку

(підкреслені потрібне)

Рівень шуму/ загальний рівень звукового тиску, дБА/дБ Лін,	Еквівалентний рівень шуму/загальний еквівалентний рівень звукового тиску, дБА/дБ Лін, $\text{dB}_{\text{A}_{\text{екв}}} / \text{dB} \text{ L}_{\text{інекв.}}$
Робоче місце (робоча зона), джерело шуму/інфразвуку, назва, типу машин, обладнання, що використовуються	Тривалість дії, хв
1	2
<i>В південно-західному напрямку від відвалу «Празовбідережній»</i>	3
<i>с.Рудничне , вул.Герцена</i>	4
<i>Санітарно-захисна зона – 300 м</i>	5

Дослідження проводив:

Фельдшер-лаборант Людмила МАРКОВИЧ *Лінекв.*
(підпись)
(посада, Власне ім'я ПРІЗВИЩЕ особи)

OЗЗ від шуму – не використовувати

Примітка: У випадку вимірювання шуму інтеруючими вимірювачами чи обчислення за допомогою часткових індексів вказують тільки еквівалентний та максимальний рівні шуму.

Висновок: (відповідність нормативу, оцінка за Гігієнічною класифікацією праці за показниками шкідливості та небезпечності факторів виробничого середовища, важкості та напруженості трудового процесу)

Еквівалентний рівень шуму на кордоні санітарно-захисної зони АТ « Південний ГЗК » в південно-західному напрямку від відвалу «Правобережний» с.Рудничне, вул.Герцена під час проведення вимірювань знаходитьться в межах допустимих санітарних норм, згідно Державних санітарних норм допустимих рівнів шуму в приміщеннях житлових та громадських будинків і на території житлової забудови, затверджених наказом МОЗ від 22.02.2019 р № 463 .



Лікар з комунальної гігієни Ольга ШВЕЦОВА

(посада, Власне ім'я ПРІЗВИЩЕ особи)

(підпис)

Завідувач санітарно-гігієнічної лабораторії
Людмила ПОГОРЕЛОВА

(Власне ім'я ПРІЗВИЩЕ, керівника лабораторії,
фізичної особи - підприємця)

**ВІДОКРЕМЛЕНІЙ СТРУКТУРНИЙ ПІДРОЗДІЛ
«КРИВОРІЗЬКИЙ РАЙОННИЙ ВІДДІЛ
ДЕРЖАВНОЇ УСТАНОВИ «ДНІПРОПЕТРОВСЬКИЙ
ОБЛАСНИЙ ЦЕНТР КОНТРОЛЮ ТА ПРОФІЛАКТИКИ
ХВОРОБ МІНІСТЕРСТВА ОХОРОНИ ЗДОРОВ'Я
УКРАЇНИ»**

тел.(0564)94-72-98 E-mail: dolc.vsp.9@phc.dp.ua
(повне найменування лабораторії)

Свідоцтво про технічну компетентність

№ 04/18 від 15.05.2018р.

Додаток 9

до Порядку атестації лабораторій
на проведення гігієнічних досліджень
факторів виробничого середовища
і трудового процесу
(пункт 11)

**ПРОТОКОЛ № 127-128 від 25.03.2022 р.
(номер, дата)**

проведення досліджень шумового навантаження та інфразвуку

1. Дата проведення дослідження 22 березня 2022 року
2. Підприємство, адреса, цех, відділення : АТ «Південний ГЗК »
Дніпропетровська область, м. Кривий Ріг
3. Робоче місце (професія), технологічний процес, що виконується
Санітарно-захисна зона.
4. Мета дослідження: Відповідно до договору № 2342/975 від 30.11.2021 р.
5. Засоби вимірювальної техніки аналізатор шуму та вібрації АССИСТЕНТ № 357821
(найменування, тип, заводський номер)
6. Відомості про повірку свідоцтво № UA/22/210721/001564 чинне від 21.07.2021 р.
(номер свідоцства, термін дії)
7. Нормативні документи, відповідно до яких:
 - a) МВ 7.2/07.33 *Методи вимірювання шуму на селитебній території та в приміщеннях житлових та громадських будівель* (проводиться дослідження)
 - 6) *Державні санітарні норми допустимих рівнів шуму в приміщеннях житлових та громадських будинків і на території житлової забудови, затверджені наказом МОЗ від 22.02.2019 р № 463* (оцінюються результати)
8. Представник лабораторії (або фізична особа - підприємець)
Головний фахівець з екології-начальник відділу охорони навколишнього середовища Наталія БІЛИК
(посада, Власне ім'я ПРІЗВИЩЕ, підпис)
9. Посада, Власне ім'я ПРІЗВИЩЕ особи, що проводили випробування:
Біолог Інна ПОЗІГУН 
(підпис)

10. Результати дослідження постійного шуму/інфразвуку

(підкреслені потрібне)

Робоче місце (робоча зона), джерело шуму/ інфразвуку, назва, тип машини, обладнання, що використовуються	Рівень звукового тиску (дБ) в середньогоеметричних октавних смугах частот, Гц	Рівень шуму/ загальний рівень звукового тиску, дБА/дБ Лін
Границя допустимий рівень (ГДР)		

11. Результати дослідження непостійного шуму/інфразвуку

(підкреслені потрібне)

Робоче місце (робоча зона), джерело шуму/інфразвуку, назва, тип машин, обладнання, що використовуються	Рівень шуму/ загальний рівень звукового тиску, дБА/дБ Лін,	Тривалість дії, хв	Еквівалентний рівень шуму/загальний еквівалентний рівень звукового тиску, дБА _{екв.} / дБ Лін _{екв.}	Максимальний рівень шуму, дБА (дБА)
1	2	3	4	5
<i>В східному напрямку від межі ведення буровибухових робіт</i>			47 дБА	
<i>м. Кривий Ріг , вул. Матрьонівська, 69</i>				
<i>Сантарно-захисна зона – 600 м</i>			48 дБА	
<i>В південно-східному напрямку від межі ведення буровибухових робіт</i>				
<i>м. Кривий Ріг , вул. Переяславська, 20</i>				
<i>Сантарно-захисна зона – 600м</i>				

Дослідження проводив: фельдшер-лаборант Людмила МАРКОВИЧ ЛН (підпис)

ОЗЗ від шуму – не використовують

Примітка: У випадку вимірювання шуму інтегруючими вимірювачами чи обчислення за допомогою часткових індексів вказують тільки еквівалентний та максимальний рівні шуму.

Висновок: (відповідність нормативу, оцінка за Гігієнічною класифікацією праці за показниками шкідливості та небезпечності факторів виробничого середовища, важкості та напруженості трудового процесу)

Еквівалентний рівень шуму на кордоні санітарно-захисної зони АТ « Південний ГЗК »
в східному напрямку від межі ведення буровибухових робіт м. Кривий Ріг , вул. Матрьонівська, 69
та в південно-східному напрямку від межі ведення буровибухових робіт м. Кривий Ріг ,
вул. Переяславська, 20 під час проведення вимірювань знаходитьться в межах допустимих санітарних
норм , згідно Державних санітарних норм допустимих рівнів шуму в приміщеннях житлових та
громадських будинків і на території житлової забудови, затверджених наказом МОЗ
від 22.02.2019 р № 463.



Лікар з комунальної гігієни Ольга ШВЕЦОВА

(посада, Власне ім'я ПРІЗВИЩЕ особи)

(підпис)

Завідувач санітарно-гігієнічної лабораторії
Людмила ПОГОРЕЛОВА

(Власне ім'я ПРІЗВИЩЕ, керівника лабораторії,
фізичної особи - підприємця)

(підпис)

ТОВ «НТЦ ЕКОТРЕЙД»
Випробувальна лабораторія
(найменування закладу)

Свідоцтво про відповідність
Системи вимірювань вимогам
ДСТУ ISO 10012:2005
№ 08-0075//2021 від 14.12.2021

(номер, дата)

Код форми за ЗКУД
Код закладу за ЗКПО

Медична документація
Форма № 297/0
Затверджена наказом МОЗ України
21.04.1999 р. № 91

Протокол №3 від 12.01.2022 р.

проведення досліджень шумового навантаження та інфразвуку
(номер, дата)

Місце проведення дослідження:

м. Кривий Ріг, біля будівлі господарської ділянки РУ АТ «ПІВДГЗК»

Дата та час проведення дослідження:

12.01.2021 р. 11 год. 15 хв. – 12 год. 01 хв.

Характеристика приміщення (розмір, об'єм, обладнання і т.д.) або території проведення дослідження:

межа санітарно-захисної зони

Мета проведення дослідження:

санітарно-епідеміологічні дослідження

**Основні джерела шуму та характер шуму, створюваного ними в приміщеннях
або на території:**

шум непостійний

Схема розміщення джерел шуму та точок вимірювань:

вимірювання проводилися на висоті 1,5 м від землі

Засоби вимірюваної техніки:

аналізатор шуму «АСИСТЕНТ S/V3» зав. № 153113

Відомості про повірку:

Св. № 3-0067-21 від 23.04.2021 р. чинне до 23.04.2022 р.

Нормативні документи, відповідно до яких здійснювались дослідження:

- ГОСТ 23337-78 (СТ СЭВ 2600-80) «Шум. Методы измерения шума на селитебной территории и в помещениях жилых и общественных зданий»
- Державні санітарні норми допустимих рівнів шуму в приміщеннях житлових та громадських будинків і на території житлової забудови, затверджені наказом МОЗ України від 22.02.2019 р. №463

Висновок про відповідність шумового режиму нормам допустимого шуму і необхідних щумозахисних заходів:

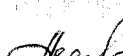
Еквівалентний та максимальний рівні шуму на межі санітарно-захисної зони (м. Кривий Ріг, біля будівлі господарської ділянки РУ АТ «ПІВДГЗК») під час проведення вибухових робіт в кар'єрі рудоуправління АТ «ПІВДГЗК» при вимірюванні у денний час, знаходиться в межах допустимих санітарних норм, згідно Наказу МОЗ України № 463 від 22.02.2019

Назва організації, що проводила вимірювання:

Випробувальна лабораторія ТОВ «НТЦ ЕКОТРЕЙД»

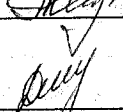
Представник підприємства:

Інженер бюро з охорони атмосферного повітря
та водних ресурсів відділу ОНС АТ «ПІВДГЗК»

 А.С. Шевченко

Посада, прізвище особи, яка проводила вимірювання:

Провідний інженер-еколог

 К.В. Алексєєнко

Результати дослідження постійного шуму/інфразвуку
(підкреслені потрібне)

Робоче місце (робоча зона), джерело шуму/інфразвуку, назва, тип машини, обладнання, що використовується	Рівень звукового тиску (дБ) в середньо геометричних октавних смугах частот, Гц						Рівень шуму/загальний рівень звукового тиску, дБА/дБЛн			
Границно-допустимий рівень (ГДР)	16	31,5	63	125	250	500	1000	2000	4000	8000

Результати дослідження непостійного шуму/інфразвуку*
(підкреслені потрібне)

Робоче місце (робоча зона), джерело шуму/інфразвуку, назва, тип машини, обладнання, що використовуються	Тривалість вимірювань	Еквівалентний рівень звуку $L_{A\text{екв}}$, дБА	Максимальний рівень звуку $L_{A\text{max}}$, дБА
1	2	3	4
Фоновий рівень	30 хв.	49	60
При звуковій сирені	15 хв.	51	64
При проведенні вибуху	0,5 хв.	-	69
Границно допустимі рівень (ГДР)**		сер. 50,0	55 дБа
			70 дБа

* Вимірювання проводились у даний час

** Державні санітарні норми допустимих рівнів шуму в приміщеннях житлових та громадських будинків і на території житлової забудови, затверджені наказом МОЗ України від 22.02.2019 р. №463 ($L_{A\text{екв}}$ 55 дБА, $L_{A\text{max}}$ 70 дБА)

Директор
ТОВ «НТЦ ЕКОТРЕЙД»

М.В. Кругляк

ТОВ «НТЦ ЕКОТРЕЙД»
Випробувальна лабораторія
(найменування закладу)

Свідоцтво про відповідність
Системи вимірювань вимогам
ДСТУ ISO 10012:2005
№ 08-0075//2021 від 14.12.2021

(номер, дата)

Код форми за ЗКУД
Код закладу за ЗКПО

Медична документація
Форма № 297/0
Затверджена наказом МОЗ України
21.04.1999 р. № 91

Протокол №3 від 26.01.2022 р.

проведення досліджень шумового навантаження та інфразвуку
(номер, дата)

Місце проведення досліджень:

м. Кривий Ріг, кінець вул. Мотронівська

Дата та час проведення досліджень:

26.01.2022 р. 11 год. 15 хв. – 12 год. 01 хв.

Характеристика приміщення (розмір, об'єм, обладнання і т.д.) або території проведення досліджень:
межа санітарно-захисної зони

Мета проведення досліджень:

санітарно-епідеміологічні дослідження

**Основні джерела шуму та характер шуму, створюваного ними в приміщеннях
або на території:**
шум непостійний

Схема розміщення джерел шуму та точок вимірювань:

вимірювання проводилися на висоті 1,5 м від землі

Засоби вимірювальної техніки:

аналізатор шуму «АСИСТЕНТ S/V3» зав. № 153113

Відомості про повірку:

Св. № 3-0067-21 від 23.04.2021 р. чинне до 23.04.2022 р.

Нормативні документи, відповідно до яких здійснювались дослідження:

- ГОСТ 23337-78 (СТ СЭВ 2600-80) «Шум. Методы измерения шума на селитебной территории и в помещениях жилых и общественных зданий»
- Державні санітарні норми допустимих рівнів шуму в приміщеннях житлових та громадських будинків і на території житлової забудови, затверджені наказом МОЗ України від 22.02.2019 р. №463

Висновок про відповідність шумового режиму нормам допустимого шуму і необхідних шумозахисних заходів:

Еквівалентний та максимальний рівні шуму на межі санітарно-захисної зони (м. Кривий Ріг, кінець вул. Мотронівська) під час проведення вибухових робіт в кар'єрі рудоуправління АТ «ПІВДГЗК» при вимірюванні у денний час, знаходиться в межах допустимих санітарних норм, згідно Наказу МОЗ України № 463 від 22.02.2019

Назва організації, що проводила вимірювання:

Випробувальна лабораторія ТОВ «НТЦ ЕКОТРЕЙД»

Представник підприємства:

Інженер бюро з охорони атмосферного повітря
та водних ресурсів відділу ОНС АТ «ПІВДГЗК»

А.С. Шевченко

Посада, прізвище особи, яка проводила вимірювання:

Провідний інженер-еколог

К.В. Алексєєнко

Результати дослідження постійного шуму/інфразвуку
(підкрайні потрібне)

Робоче місце (робоча зона), джерело шуму/інфразвуку, назва, тип машин, обладнання, що використовуються		Рівень звукового тиску (дБ) в середньо геометричних октавних смугах частот, Гц								Рівень шуму/загальний рівень звукового тиску, дБА/дБ Лін	
Гранічно-допустимий рівень (ГДР)		16	31,5	63	125	250	500	1000	2000	4000	8000

Результати дослідження непостійного шуму/інфразвуку*
(підкрайні потрібне)

Робоче місце (робоча зона), джерело шуму/інфразвуку, назва, тип машин, обладнання, що використовуються	Тривалість вимірювань	Еквівалентний рівень звуку $L_{A\text{екв}}$, дБА	Максимальний рівень звуку $L_{A\text{max}}$, дБА
1	2	3	4
Фотозвітний рівень	30 хв.	51	63
При звуковій сирені	15 хв.	54	67
При проведенні вибуху	0,5 хв.	-	69
Гранічно допустимі рівень (ГДР)**	55 дБа	сер. 52,5	70 дБа

* Вимірювання проводились у даний час

** Державні санітарні норми допустимих рівнів шуму в приміщеннях житлових та промислових будинків і на території житлової забудови, затверджені наказом МОЗ України від 22.02.2019 р. №463 ($L_{A\text{екв}}$ 55 дБА, $L_{A\text{max}}$ 70 дБА)

Директор
ТОВ «НІЦ ЕКОТРЕЙД»

M.B. Krutlyak

ТОВ «НТЦ ЕКОТРЕЙД»
Випробувальна лабораторія
(найменування закладу)

Свідоцтво про відповідність
Системи вимірювань вимогам
ДСТУ ISO 10012:2005
№ 08-0075//2021 від 14.12.2021
(номер, дата)

Код форми за ЗКУД
Код закладу за ЗКПО

Медична документація
Форма № 297/0
Затверджена наказом МОЗ України
21.04.1999 р. № 91

Протокол №3 від 09.02.2022 р.

проведення досліджень шумового навантаження та інфразвуку
(номер, дата)

Місце проведення дослідження:
м. Кривий Ріг, вул. Туринська, б. 28

Дата та час проведення дослідження:
09.02.2021 р. 11 год. 15 хв. – 12 год. 01 хв.

Характеристика приміщення (розмір, об'єм, обладнання і т.д.) або території проведення дослідження:
межа санітарно-захисної зони

Мета проведення дослідження:
санітарно-епідеміологічні дослідження

**Основні джерела шуму та характер шуму, створюваного ними в приміщеннях
або на території:**
шум непостійний

Схема розміщення джерел шуму та точок вимірювань:
вимірювання проводилися на висоті 1,5 м від землі

Засоби вимірювальної техніки:
аналізатор шуму «АСИСТЕНТ S/V3» зав. № 153113

Відомості про повірку:
Св. № 3-0067-21 від 23.04.2021 р. чинне до 23.04.2022 р.

Нормативні документи, відповідно до яких здійснювались дослідження:

- ГОСТ 23337-78 (СТ СЭВ 2600-80) «Шум. Методы измерения шума на селитебной территории и в помещениях жилых и общественных зданий»
- Державні санітарні норми допустимих рівнів шуму в приміщеннях житлових та громадських будинків і на території житлової забудови, затверджені наказом МОЗ України від 22.02.2019 р. №463

Висновок про відповідність шумового режиму нормам допустимого шуму і необхідних шумозахисних заходів:

Еквівалентний та максимальний рівні шуму на межі санітарно-захисної зони (м. Кривий Ріг, вул. Туринська, б. 28) під час проведення вибухових робіт в кар'єрі рудоуправління АТ «ПІВДГЗК» при вимірюванні у денний час, знаходиться в межах допустимих санітарних норм, згідно Наказу МОЗ України № 463 від 22.02.2019

Назва організації, що проводила вимірювання:
Випробувальна лабораторія ТОВ «НТЦ ЕКОТРЕЙД»

Представник підприємства:

Інженер бюро з охорони атмосферного повітря
та водних ресурсів відділу ОНС АТ «ПІВДГЗК»

O.I. Обльотова

Посада, прізвище особи, яка проводила вимірювання:

Головний інженер-еколог

O.B. Демонштейн

Результати дослідження постійного шуму/інфразвуку
(підкreslitи потрібне)

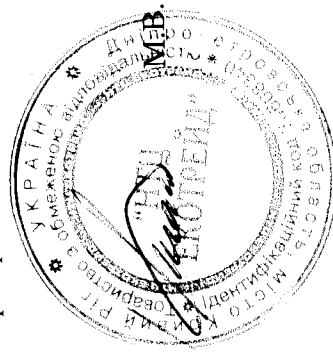
Робоче місце (робоча зона), джерело шуму/інфразвуку, назва, тип машини, обладнання, що використовуються	Границя допустимий рівень (ГДР)	Рівень звукового тиску (дБ) в середньо геометричних октавних смугах частот, Гц	Рівень шуму/загальний рівень звукового тиску, дБА/дБ Лін
		16 31,5 63 .125 250 500 1000 2000 4000 8000	

Результати дослідження непостійного шуму/інфразвуку*
(підкreslitи потрібне)

Робоче місце (робоча зона), джерело шуму/інфразвуку, назва, тип машини, обладнання, що використовуються	Тривалість вимірювань	Еквівалентний рівень звуку $L_{A\text{екв}}$, дБА	Максимальний рівень звуку $L_{A\text{max}}$, дБА
1	2	3	4
Фоновий рівень	30 хв.	51	61
При звуковій сирені	15 хв.	54	67
При проведенні вибуху	0,5 хв.	-	70
Границя допустимі рівень (ГДР)**		сер. 52,5 55 дБа	70 дБа

* Вимірювання проводились у даний час

** Державні санітарні норми допустимих рівнів шуму в промислових житлових та громадських будинків і на території житлової забудови, затверджені наказом МОЗ України від 22.02.2019 р. №463 ($L_{A\text{екв}} 55$ дБА, $L_{A\text{max}} 70$ дБА)



Директор
ТОВ «ННЦ ЕКОТРЕЙД»

ТОВ «НТЦ ЕКОТРЕЙД»
Випробувальна лабораторія
(найменування закладу)

Свідоцтво про відповідність
Системи вимірювань вимогам
ДСТУ ISO 10012:2005
№ 08-0075//2021 від 14.12.2021

(номер, дата)

Код форми за ЗКУД
Код закладу за ЗКПО

Медична документація
Форма № 297/0
Затверджена наказом МОЗ України
21.04.1999 р. № 91

Протокол №9 від 23.02.2022 р.

проведення досліджень шумового навантаження та інфразвуку
(номер, дата)

Місце проведення досліджень:

м. Кривий Ріг, 50 м від повороту з широківської дороги на ланкозбіркову базу УЗДТ

Дата та час проведення досліджень:

23.02.2021 р. 11 год. 15 хв. – 12 год. 01 хв.

Характеристика приміщення (розмір, об'єм, обладнання і т.д.) або території проведення досліджень:
межа санітарно-захисної зони

Мета проведення досліджень:

санітарно-епідеміологічні дослідження

Основні джерела шуму та характер шуму, створюваного ними в приміщеннях
або на території:

шум непостійний

Схема розміщення джерел шуму та точок вимірювань:

вимірювання проводилися на висоті 1,5 м від землі

Засоби вимірювальної техніки:

аналізатор шуму «АСИСТЕНТ S/V3» зав. № 153113

Відомості про повірку:

Св. № 3-0067-21 від 23.04.2021 р. чинне до 23.04.2022 р.

Нормативні документи, відповідно до яких здійснювались дослідження:

- ГОСТ 23337-78 (СТ СЭВ 2600-80) «Шум. Методы измерения шума на селитебной территории и в помещениях жилых и общественных зданий»
- Державні санітарні норми допустимих рівнів шуму в приміщеннях житлових та громадських будинків і на території житлової забудови, затверджені наказом МОЗ України від 22.02.2019 р. №463

Висновок про відповідність шумового режиму нормам допустимого шуму і необхідних шумозахисних заходів:

Еквівалентний та максимальний рівні шуму на межі санітарно-захисної зони (м. Кривий Ріг, 50 м від повороту з широківської дороги на ланкозбіркову базу УЗДТ) під час проведення вибухових робіт в кар'єрі рудоуправління АТ «ПІВДГЗК» при вимірюванні у денний час, знаходиться в межах допустимих санітарних норм, згідно Наказу МОЗ України № 463 від 22.02.2019

Назва організації, що проводила вимірювання:

Випробувальна лабораторія ТОВ «НТЦ ЕКОТРЕЙД»

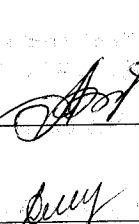
Представник підприємства:

Інженер бюро з охорони атмосферного повітря
та водних ресурсів відділу ОНС АТ «ПІВДГЗК»


А.С. Шевченко

Посада, прізвище особи, яка проводила вимірювання:

Головний інженер-еколог


О.В. Демонштейн

Результати дослідження постійного шуму/інфразвуку

(підкreslitи потрібне)

Робоче місце (робоча зона), джерело шуму/інфразвуку, назва, тип машини, обладнання, що використовуються	Рівень звукового тиску (дБ) в середньо геометричних октавних смугах частот, Гц								Рівень шуму/загальний рівень звукового тиску, дБА/дБЛін	
Границно-допустимий рівень (ГДР)	16	31,5	63	125	250	500	1000	2000	4000	8000

Результати дослідження непостійного шуму/інфразвуку*

(підкreslitи потрібне)

Робоче місце (робоча зона), джерело шуму/інфразвуку, назва, тип машини, обладнання, що використовуються	Тривалість вимірювань	Еквівалентний рівень звуку $L_{A\text{екв}}$, дБА	Максимальний рівень звуку $L_{A\text{макс}}$, дБА
1	2	3	4
Фоновий рівень	30 хв.	50	60
При звуковій сирені	15 хв.	52	65
При проведенні вибуху	0,5 хв.	51,0	68
Границно допустимий рівень (ГДР)**	55 дБа	55 дБа	70 дБа

* Вимірювання проводились у денної час
** Державні санітарні норми допустимих рівнів шуму в приміщеннях житлових та громадських будинків і на території житлового забудови, затвержені наказом МОЗ України від 22.02.2019 р. №463 ($L_{A\text{екв}}$ 55 дБА, $L_{A\text{макс}}$ 70 дБА)



Директор
ТОВ «НТЦ ЕКОТРЕЙД»

М.В. Кругляк

ТОВ «НТЦ ЕКОТРЕЙД»
Випробувальна лабораторія
(найменування закладу)

Свідоцтво про відповідність
Системи вимірювань вимогам
ДСТУ ISO 10012:2005
№ 08-0075//2021 від 14.12.2021

(номер, дата)

Код форми за ЗКУД
Код закладу за ЗКПО

Медична документація
Форма № 297/0
Затверджена наказом МОЗ України
21.04.1999 р. № 91

Протокол №3 від 16.03.2022 р.

проведення досліджень шумового навантаження та інфразвуку
(номер, дата)

Місце проведення досліджень:

бетонна дорога, поворот на селище Рудничне

Дата та час проведення досліджень:

16.03.2021 р. 11 год. 15 хв. – 12 год. 01 хв.

Характеристика приміщення (розмір, об'єм, обладнання і т.д.) або території проведення досліджень:
межа санітарно-захисної зони

Мета проведення досліджень:

санітарно-епідеміологічні дослідження

**Основні джерела шуму та характер шуму, створюваного ними в приміщеннях
або на території:**

шум непостійний

Схема розміщення джерел шуму та точок вимірювань:

вимірювання проводилися на висоті 1,5 м від землі

Засоби вимірюваної техніки:

аналізатор шуму «АСИСТЕНТ S/V3» зав. № 153113

Відомості про повірку:

Св. № 3-0067-21 від 23.04.2021 р. чинне до 23.04.2022 р.

Нормативні документи, відповідно до яких здійснювались дослідження:

- ГОСТ 23337-78 (СТ СЭВ 2600-80) «Шум. Методы измерения шума на селитебной территории и в помещениях жилых и общественных зданий»
- Державні санітарні норми допустимих рівнів шуму в приміщеннях житлових та громадських будинків і на території житлової забудови, затверджені наказом МОЗ України від 22.02.2019 р. №463

Висновок про відповідність шумового режиму нормам допустимого шуму і необхідних шумозахисних заходів:

Еквівалентний та максимальний рівні шуму на межі санітарно-захисної зони (бетонна дорога, поворот на селище Рудничне) під час проведення вибухових робіт в кар'єрі рудоуправління АТ «ПІВДГЗК» при вимірюванні у денний час, знаходиться в межах допустимих санітарних норм, згідно Наказу МОЗ України № 463 від 22.02.2019

Назва організації, що проводила вимірювання:

Випробувальна лабораторія ТОВ «НТЦ ЕКОТРЕЙД»

Представник підприємства:

Інженер бюро з охорони атмосферного повітря
та водних ресурсів відділу ОНС АТ «ПІВДГЗК»

А.С. Шевченко

Посада, прізвище особи, яка проводила вимірювання:

Головний інженер-еколог

О.В. Демонштейн

Результати дослідження постійного шуму/інфразвуку
(підкреплені потрібне)

Робоче місце (робоча зона), джерело шуму/інфразвуку, назва, тип машини, обладнання, що використовуються	Рівень звукового тиску (дБ) в середньо геометричних октаавних смугах частот, Гц							Рівень шуму/загальний рівень звукового тиску, дБА/дБЛін		
Границя-допустимий рівень (ГДР)	16	31,5	63	125	250	500	1000	2000	4000	8000

Результати дослідження нестійкого шуму/інфразвуку*

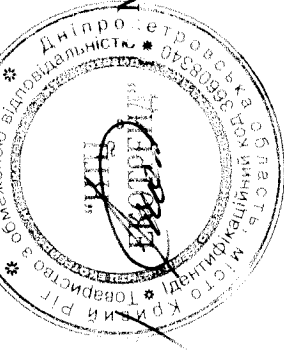
(підкреплені потрібне)

Робоче місце (робоча зона), джерело шуму/інфразвуку, назва, тип машини, обладнання, що використовуються	Тривалість вимірювань	Еквівалентний рівень звуку $L_{A\text{екв}}$, дБА	Максимальний рівень звуку $L_{A\text{макс}}$, дБА
1	2	3	4
Фоновий рівень	30 хв.	49	61
При звуковій сирені	15 хв.	51	65
При проведенні вибуху	0,5 хв.	-	69
Границя допустимі рівень (ГДР)**		сер. 50,0 55 дБа	70 дБа

* Вимірювання проводились у даний час

** Державні санітарні норми допустимих рівнів шуму в приміщеннях житлових та громадських будинків і на території промислової забудови, затверджені наказом МОЗ України від 22.02.2019 р. №463 ($L_{A\text{екв}}$ 55 дБА, $L_{A\text{макс}}$ 70 дБА)

Директор
ТОВ «НТЦ ЕКОТРЕЙД»



ТОВ «НТЦ ЕКОТРЕЙД»
Випробувальна лабораторія
(найменування закладу)

Свідоцтво про відповідність
Системи вимірювань вимогам
ДСТУ ISO 10012:2005
№ 08-0075//2021 від 14.12.2021
(номер, дата)

Код форми за ЗКУД
Код закладу за ЗКПО

Медична документація
Форма № 297/0
Затверджена наказом МОЗ України
21.04.1999 р. № 91

Протокол №4 від 23.03.2022 р.

проведення досліджень шумового навантаження та інфразвуку
(номер, дата)

Місце проведення досліджень:

бетонна дорога, поворот на селище Рудничне

Дата та час проведення досліджень:

23.03.2021 р. 11 год. 15 хв. – 12 год. 01 хв.

Характеристика приміщення (розмір, об'єм, обладнання і т.д.) або території проведення досліджень:
межа санітарно-захисної зони

Мета проведення досліджень:

санітарно-епідеміологічні дослідження

**Основні джерела шуму та характер шуму, створюваного ними в приміщеннях
або на території:**

шум непостійний

Схема розміщення джерел шуму та точок вимірювань:

вимірювання проводилися на висоті 1,5 м від землі

Засоби вимірюваної техніки:

аналізатор шуму «АСИСТЕНТ S/V3» зав. № 153113

Відомості про повірку:

Св. № 3-0067-21 від 23.04.2021 р. чинне до 23.04.2022 р.

Нормативні документи, відповідно до яких здійснювались дослідження:

- ГОСТ 23337-78 (СТ СЭВ 2600-80) «Шум. Методы измерения шума на селитебной территории и в помещениях жилых и общественных зданий»
- Державні санітарні норми допустимих рівнів шуму в приміщеннях житлових та громадських будинків і на території житлової забудови, затверджені наказом МОЗ України від 22.02.2019 р. №463

Висновок про відповідність шумового режиму нормам допустимого шуму і необхідних шумозахисних заходів:

Еквівалентний та максимальний рівні шуму на межі санітарно-захисної зони (бетонна дорога, поворот на селище Рудничне) під час проведення вибухових робіт в кар'єрі рудоуправління АТ «ПІВДГЗК» при вимірюванні у денний час, знаходиться в межах допустимих санітарних норм, згідно Наказу МОЗ України № 463 від 22.02.2019

Назва організації, що проводила вимірювання:

Випробувальна лабораторія ТОВ «НТЦ ЕКОТРЕЙД»

Представник підприємства:

Інженер бюро з охорони атмосферного повітря
та водних ресурсів відділу ОНС АТ «ПІВДГЗК»

А.С. Шевченко

Посада, прізвище особи, яка проводила вимірювання:

Головний інженер-еколог

О.В. Демонштейн

Результати дослідження постійного шуму/інфразвуку
(підкreslitи потрібне)

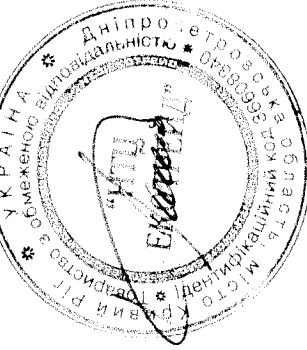
Робоче місце (робоча зона), джерело шуму/інфразвуку, назва, тип машин, обладнання, що використовуються	Границно-допустимий рівень (ГДР)	Рівень звукового тиску (дБ) в середньо геометричних октавних смугах частот, Гц	Рівень шуму/загальний рівень звукового тиску, дБА/дБЛін
		16 31,5 63 125 250 500 1000 2000 4000 8000	

Результати дослідження нештатного шуму/інфразвуку*
(підкreslitи потрібне)

Робоче місце (робоча зона), джерело шуму/інфразвуку, назва, тип машин, обладнання, що використовується	Тривалість вимірювань	Еквівалентний рівень звуку $L_{A\text{екв}}$, дБА	Максимальний рівень звуку $L_{A\text{мак}}$, дБА
1	2	3	4
Фоновий рівень	30 хв.	50	60
При звуковій сирені	15 хв.	53	66
При проведенні вибуху	0,5 хв.	-	68
Границно допустимі рівень (ГДР)**		сер. 51,5 55 дБа	70 дБа

* Вимірювання проводились у денної час

** Державні санітарні норми допустимих рівнів шуму в приміщеннях житлових та громадських будинків і на території житлової забудови, затверджені наказом МОЗ України від 22.02.2019 р. №463 ($L_{A\text{екв}} 55$ дБА, $L_{A\text{мак}} 70$ дБА)



Директор
ТОВ «НТЦ ЕКОТРЕЙД»

М.В. Кругляк

Результати контролю якості поверхневих вод
за березень 2022 р.

Дата	№ проби	Місце відбору проб	ВСКs	O ₂ розчин.	ХСК речовин	Зависі залізник	Нітрати	Азот амійний	Залізо	Хлориди	Сульфати	Нафтопропу кти	Фосфати	Мідь	Марганець	Хром	Роданіди	Феноли	СПАР	Пнк	Аномальні	рН	T, °C	
			мг/л	мг/л	мг/л	мг/л	мг/л	мг/л	мг/л	мг/л	мг/л	мг/л	мг/л	мг/л	мг/л	мг/л	мг/л	мг/л						
16.03.2022	188	р. Інгулець вище гирла по 6. Грушевата	3,77	13,64	30,67	13,8	1893	2,56	менше 0,03	менше 0,1	менше 0,1	414,26	510,67	0,066	0,114	0,0013	0,0492	0,00115	менше 0,0229	менше 0,005	менше 0,0229	8,66	3,5	
16.03.2022	189	р. Інгулець нижче гирла по 6. Грушевата	3,53	13,41	27,98	менше 5	2179	5,52	0,038	0,66	0,15	639,11	434,96	0,059	0,173	0,0016	0,0388	менше 0,001	менше 0,05	менше 0,001	менше 0,005	менше 0,0239	8,62	3,9

В.о. начальника СПЕЛІ

Вікторія ЛУМЕРОВСЬКА

Інженер-лаборант СПЕЛІ

Лілія КАРПЕНКО

Наталія БІЛІК

Результати отримав. Головний фахівець з екології - начальник ВОНС

Богдан 5

17.02.2022 р.

Результати контролю якості поверхневих вод

за лютий 2022р.

Дата	№ проби	Місце відбору проб	БСКs		O ₂ різчинн.	ХСК занесій речовини	Схема заливок	Нітрати	Нітрати амоній	Залізо Хроміум	Сульфати	Нафтопрод. укти	Фосфорат	Мін.	Магнієв.	Хром	Роданин	Феноли	СІАР	Цинк	Алюміній	pН	T, °C
			Мг/л	Мг/л																			
09.02.2022	105	р. Інгулець між с. Григорівко та с. Красногорівкою 6. Грумелята	2,76	34,09	16,3	1095	2,29	0,03	менше 0,1	0,21	163,08	395,45	0,16	0,140	0,0072	менше 0,005	менше 0,001	менше 0,05	менше 0,02	менше 0,005	0,0237	8,42	1,6
09.02.2022	106	р. Інгулець між с. Григорівко та с. Красногорівкою 6. Грумелята	4,12	11,19	22,22	24,0	13,29	5,01	0,19	0,34	275,53	382,70	0,019	0,128	0,0058	менше 0,005	менше 0,001	менше 0,05	менше 0,02	менше 0,005	0,0239	8,44	2,2

Світлана БУРЛАЧЕНКО

Ірина ШЕРЕМЕТ

Начальник СНЕ.ІІ

Інженер-лаборант СНЕ.ІІ

Наталія БІЛІК

Результати отримав: Головний фахівець з екології - начальник ВОНС

Результати контролю якості поверхневих вод
за січень 2022 р.

Дата	№ проби	Місце відбору проб	БСКs	O_2 речинн.	ХСК залишок	Сухий залишок	Нітрати	Нітрати амонійний	Залізо	Хлориди	Сульфати	Нафтопродукти кти	Міль	Марганець	Хром	Роданіди	Феноли	СТАР	Інік	Алюміній	РН	T, °C					
12.01.2022	16	р. Інгулець вище гирла по б. Грушевського	4,20	13,01	16,71	6,2	1455	4,39	менше 0,1	0,20	227,42	492,57	0,018	0,318	0,0064	менше 0,005	менше 0,001	менше 0,05	менше 0,005	менше 0,001	менше 0,05	менше 0,005	менше 0,001	менше 0,0220	8,09	0,2	
12.01.2022	17	р. Інгулець нижче гирла по б. Грушевського	3,53	13,84	19,65	5,7	1525	4,30	0,039	менше 0,1	0,30	299,37	418,50	0,023	0,180	0,0071	менше 0,005	менше 0,001	менше 0,05	менше 0,001	менше 0,005	менше 0,02	менше 0,005	менше 0,001	менше 0,0216	8,20	1,0

Начальник СПЕЛ

Світлана БУРЛАЧЕНКО

Інженер-лаборант СПЕЛ

Лілія КАРПЕНКО

Наталія БІЛІК

(дата, підпись)

Результати отримав. Головний фахівець з екології - начальник ВОНС

Протокол

аналізу кар'єрної води у 1 кварталі 2022

Дата відбору проб	№ проб	Місце відбору	pH	Схин-зарядок, мк/л	Капбодарта (жувіцтв)	Зарядка Гераподарта	Бікапбодарта, мк/л	Зарядка МР-ЕКВ/лм ³	МР-ЕКВ/лм ³	Магній ммоль/лм ³	Жорсткість, ммоль/лм ³	Кальцій ммоль/лм ³	Нітрати, мк/л	Фосфати, мк/л	Азот амінний, мк/л	
26.01.2022	61	зумпф	8,32	3246	8,50	27,83	19,33	518,50	63,47	3,17	80,94	6,66	0,26	566,28	1134,09	81,35

В.о. начальника СПЕЛ

Інженер-лаборант СПЕЛ

Вікторія ЛУМЕРОВСЬКА

Ірина ШЕРЕМЕТ

ДОВІДКА
про приплив води в кар'єр АТ «ПІВДГЗК»
за 1 квартал 2022р

Місяць	Об'єм води, яка надійшла в кар'єр (відкачано), м ³	Середній водоприплив, м ³ /год
Січень	474410	637,6
Лютий	341740	508,5
Березень	275300	370,0

Головний геолог



Олена ПАРОВЕНКО



МІНІСТЕРСТВО АГРАРНОЇ ПОЛІТИКИ ТА ПРОДОВОЛЬСТВА УКРАЇНИ
ДЕРЖАВНА УСТАНОВА

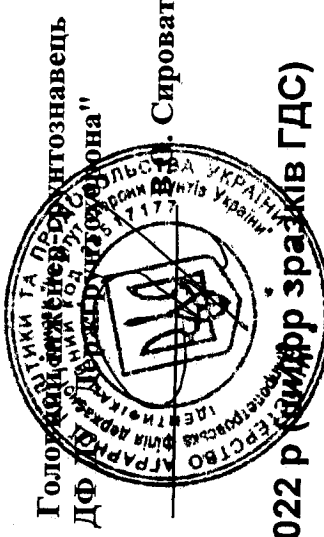
«ІНСТИТУТ ОХОРONI ГРУНТІВ УКРАЇНИ»
(ДУ «Держгрунтохорона»)

ДNІПРОПЕТРОВСЬКА ФІЛІЯ ДУ «Держгрунтохорона»
вул. Наукова, 65-а, с. Дослідне, Дніпровський район, Дніпропетровська область, 52071
тел. 056-789-03-78

E-mail: roduchist_buh_dp@i.ua, сайт: www.iogu.gov.ua, код згідно з ЕДРПОУ 38517177

2Н438

“ЗАТВЕРДЖУЮ”



ПРОТОКОЛИ ВИПРОБУВАНЬ № 34 - 62 від 14 січня 2022 р (аналіз зразків ГДС)

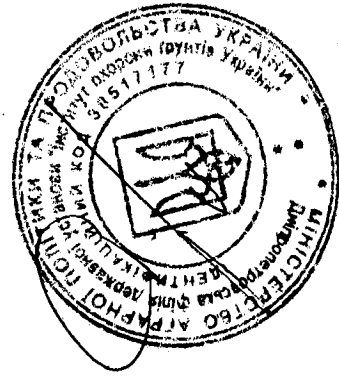
Зведені дані екологічного стану ґрунтів території впливу місць видалення відходів «АТ "ПІВДГЗК»

Сторона 8

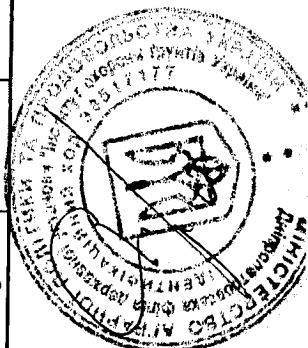
Номер точок відбору проб	Вміст хімічних елементів (валова форма/рухлива форма) мг/кг									
	І клас					ІІ клас				
	F	Pb	Zn	C ₀	Ni	Cu	Cr	V	Mn	Si
1	2	3	4	5	6	7	8	9	10	11
т. 1, чорнозем	829	25	77	18	30	28	86	94	615	298
т. 2, чорнозем	797	26	66	15	28	31	85	95	613	284
т. 3, чорнозем	891	27	77	15	35	30	97	100	620	285
т. 4, чорнозем	888	24	94	16	37	28	93	101	630	287
т. 5, чорнозем	876	22	88	13	30	28	82	95	615	285
т. 6, чорнозем	792	27	70	15	29	24	95	103	616	281
т. 7, чорнозем	865	4,82	0,76	0,30	3,18	0,33	0,94	100	634	265
т. 8, чорнозем	860	25	74	13	26	27	92	105	650	294
т. 9, чорнозем	894	24	71	14	23	26	83	103	621	276
т. 10, чорнозем	795	27	61	11	33	24	87	98	621	294
т. 11, чорнозем	787	4,74	0,59	0,21	2,85	0,33	0,85	101	640	273
т. 12, чорнозем	827	4,78	0,75	0,21	3,21	0,29	0,98	106	605	278



		26	82	16	24	27	95	102	653	281	33
т. 13, чорнозем	850	4,82	0,82	0,27	2,95	0,43	1,12				
т. 14, чорнозем	854	27	77	17	36	31	95	100	623	285	37
т. 15, чорнозем	836	23	90	14	30	31	97	103	610	279	31
т. 16, чорнозем	858	4,87	0,85	0,22	2,95	0,43	1,04				
т. 17, чорнозем	876	26	77	15	35	27	97	104	620	285	35
т. 18, чорнозем	884	24	91	15	31	30	96	110	655	296	35
т. 19, чорнозем	894	4,76	0,88	0,30	3,14	0,43	1,12				
т. 20, чорнозем	767	26	80	15	35	26	96	108	633	288	37
т. 21, чорнозем	836	4,91	0,83	0,29	2,95	0,23	0,97				
т. 22, чорнозем	855	3,55	0,71	0,22	2,91	0,32	0,97	99	607	294	34
т. 23, чорнозем	867	27	77	19	36	31	95	98	621	285	38
т. 24, чорнозем	845	4,87	0,76	0,28	3,31	0,31	1,01				
		24	93	18	31	29	82	101	646	281	36
		3,55	0,85	0,25	2,85	0,21	0,84				
		26	82	19	27	29	93	95	681	231	33
		4,83	0,81	0,25	2,69	0,30	0,94				
		25	66	15	27	29	94	88	613	285	36
		3,55	0,62	0,31	2,79	0,27	1,16				



			<u>27</u>	<u>88</u>	<u>16</u>	<u>26</u>	<u>25</u>	<u>24</u>			
т. 25, чорнозем	840	4,19	0,91	0,24	2,71	0,32	0,99	100	603	294	34
т. 26, чорнозем	791	26	85	18	36	31	96	102	645	271	38
т. 27, чорнозем	803	23	51	19	26	29	85	96	615	294	36
т. 28, чорнозем	824	29	88	15	0,21	2,44	0,26	0,81			
т. 29, чорнозем	775	4,35	0,83	0,29	2,91	0,3	1,02	100	622	285	38
<i>Середній вміст важких металів на площі дослідження</i>	840	26	77	16	30	28	91	99	626	282	35
Фоновий вміст для ґрунтів	900	30	100	20	50	30	100	100	700	300	40
ГДК для ґрунтів (Наказ №1595 від 14.07.2020 "Про затвердження Гігієнічних регламентів допустимого вмісту хімічних речовин у ґрунті"	-	32	-	-	-	-	-	150	1500		
Показники шкідливості											
Трансплокаційний		35	-	-	-	-	-	170	3500		
Міграційний водний		-	23	25	6,7	3,5	-	-	-		
Міграційний повітряний		260	-	200	>1000	14	72	-	350	1500	
Загальносанітарний		32	-	-	-	-	-	-	150	1500	



**Схема розташування точок спостережень за екологічним станом ґрунтів
території потенційного впливу МВВ АТ «ПІВДГЗК»**



Протокол

аналізу підземних вод у 1 кварталі 2022

Дата відбору проб	№ проби	Місце відбору	Hd	Cyxnin' saminuk,	3arapha kocptictp,	MR/M ³	Cylnphartn, MR/M ³	Hithropn, MR/M ³	Hitrapn, MR/M ³
Водоносний горизонт четвертичних відкладень									

17.01.2022	26	Свердловина № 1Н	6,83	655	7,00	32,65	1,63	28,22	2,32	336,95	15,64	<0,5	0,054
17.01.2022	27	Свердловина № 6Н	6,96	7295	77,91	103,74	5,18	776,13	63,83	752,86	3949,99	4,06	0,103
17.01.2022	31	Свердловина № 141р	9,96	9355	108,36	42,42	2,12	1083,58	89,11	264,99	3686,63	2,94	0,190
17.01.2022	33	Свердловина № 1736	7,34	7365	5,02	52,13	2,60	23,60	1,94	2638,53	1380,58	<0,5	<0,03
17.01.2022	34	Свердловина № 1743	6,10	2871	17,15	133,38	6,66	83,72	6,88	1451,32	<15	0,78	0,049
		Свердловина № 2067											
		Свердловина № 2099											

Водоносний горизонт неогенових відкладень
17.01.2022 36 Свердловина № 2066 6,95 475 6,39 36,24 1,81 33,74 2,77 2222,00 44,03 <0,5 <0,03
07.02.2022 99 Свердловина № 7024* 6,59 більше 10000 70,86 877,63 43,79 285,86 23,51 5754,71 152,25 <0,5 <0,03

*підземна вода має завищенні показники вмісту хлоридів, що вказує на присутність високомінералізованих шахтних вод із ставка накопичувача в басейні Свистунова, що мігрують по тектоничним розломам

В.о. начальника СПЕЛІ

Інженер-лаборант СПЕЛІ

Вікторія ЛУМЕРОВСЬКА

Ірина ШЕРЕМЕТ

Догада 9

Додаток 10

Заверджую

 Начальник ГІГС
 Сергій ВІКТОРОВ

ТАБЛИЦЯ

ВИМІРІВ РІВНЕЙ ПІДЗЕМНИХ ВОД У 2022 РОЦІ ПО СВЕРДЛОВИНАМ ГІДРОСПОСТЕРЕЖНОЇ МЕРЕЖІ АТ "ПІВДІЗК"

Середньомісячні рівні підземних вод 2022 рік

№ з/п	Номер спостереж. пункту (свердловини)	Абсол. відмітка устя	Водоносний горизонт четвертинних відкладень											
			I	II	III	IV	V	VI	VII	VIII	IX	X	XI	XII
1	ІН	31,15	5,24	5,23	5,21	-	-	-	-	-	-	-	-	-
2	6Н	30,07	3,79	3,97	3,91	-	-	-	-	-	-	-	-	-
3	141р	29,74	2,76	2,75	2,73	-	-	-	-	-	-	-	-	-
4	1736	37,43	6,47	6,53	6,55	-	-	-	-	-	-	-	-	-
5	1743	39,42	10,77	11,22	11,28	-	-	-	-	-	-	-	-	-
6	2067	68,48	сухо	сухо	сухо	-	-	-	-	-	-	-	-	-
7	2099	81,24	сухо	сухо	сухо	-	-	-	-	-	-	-	-	-
8	2066	53,7	9,78	9,85	9,87	-	-	-	-	-	-	-	-	-
9	7024	85,42	36,65	36,66	36,63	-	-	-	-	-	-	-	-	-
10	2Н	81,29	36,99	36,99	36,98	-	-	-	-	-	-	-	-	-
11	138	31,05	4,42	4,41	4,40	-	-	-	-	-	-	-	-	-

Національний геологічний інститут

 Юлія КОВАЛЬОВА
 Гідрогеолог лабораторії ГТК

 Інна ЗУБКОВА

ЗАТВЕРДЖУЮ

Директор КП “Академічний Дім”

Болотніков А.В.



«16» березня 2022 р

ПРОТОКОЛ

за результатами вимірювань параметрів сейсмічних і ударно-повітряних хвиль, створених масовими вибухами в кар’єрі АТ «ПІВДГЗК»

КП “Академічний Дім” виконало вимірювання сейсмічних і ударно-повітряних хвиль, створених масовими вибухами в кар’єрі АТ «ПівдГЗК». Місце проведення вимірювань знаходилося біля одноповерхового цегляного будинку № 17, розташованого по вул. Земнухова, м. Кривий Ріг.

Дата вибуху 16 березня 2022 року. Загальна маса вибухової речовини *404,12245 тон*. На час проведення масових вибухів о *12 год. 00 хв. 00 с.* температура повітря складала $+2^{\circ}\text{C}$, вологість – 56% , швидкість східного вітру $1,0 \text{ м/с.}$

Час початку підриву блоків Δt , час завершення підриву τ , загальна кількість свердловин n , загальна маса вибухівки Q , максимальна маса вибухівки на ступень уповільнення q , відстань до точки спостереження R , горизонт знаходження вибухового блоку H , наведено в табл. 1.1 – 1.10.

Вибухові блоки № 24, 25, 26 та 27 підривалися за допомогою системи ініціювання вибуху "ShockStar", блок №28 – "ShockStar", ДШЕ-12.

Для об’єкту, де проводилися вимірювання, допустимою величиною сейсмічних навантажень прийнято рівень, еквівалентний 2 балам міжнародної сейсмічної шкали MSK-64, якому відповідає значення швидкості сейсмічних коливань $0,4 \text{ см/с.}$

Таблиця 1.1

Номер блоку	24
Початок підриву блоку $\Delta t, мс$	2502
Кінець підриву блока $\tau, мс$	3507
Загальна кількість свердловин $n, шт$	33
Загальна маса вибухівки $Q, т$	39.72
максимальна маса вибухівки на ступень уповільнення $q, т$	1.57
Відстань до точки спостереження $R, м$	2150
Горизонт $H, м$	-330/-345

Результати вимірювання швидкості та періоду сейсмічних коливань після обробки сейсмограм наведено в таблиці 1.2.

Таблиця 1.2

Номер блоку	24					
Величина максимальної амплітуди коливань на екрані цифрового осцилографа TPS 2014, B	A_x^{ep}	A_y^{ep}	A_z^{ep}	$A_x^{\delta y\delta}$	$A_y^{\delta y\delta}$	$A_z^{\delta y\delta}$
	0.189	0.151	0.097	0.146	—	—
Величина коефіцієнта перетворювання напруги в швидкість механічних коливань, $(см/с) / B$	0.3571	0.4545	0.4167	0.3030	—	—
Швидкість сейсмічних коливань за окремими складовими, $см/с$	v_x^{ep}	v_y^{ep}	v_z^{ep}	$v_x^{\delta y\delta}$	$v_y^{\delta y\delta}$	$v_z^{\delta y\delta}$
	0.067	0.069	0.040	0.044	—	—
Повна швидкість сейсмічних коливань, $см/с$	v^{ep}			$v^{\delta y\delta}$		
	0.104			0.076		
Бал сейсмічних коливань за Міжнародною сейсмічною шкалою MSK-64	0.52					
Період сейсмічних коливань за окремими складовими, $мс$	T_x^{ep}	T_y^{ep}	T_z^{ep}	$T_x^{\delta y\delta}$	$T_y^{\delta y\delta}$	$T_z^{\delta y\delta}$
	30	40	25	40	—	—

Таблиця 1.3

Номер блоку	25
Початок підриву блоку $\Delta t, мс$	4150
Кінець підриву блока $\tau, мс$	5896
Загальна кількість свердловин $n, шт$	152
Загальна маса вибухівки $Q, т$ максимальна маса вибухівки на ступень уповільнення $q, т$	122.69 2.46
Відстань до точки спостереження $R, м$	1650
Горизонт $H, м$	-255/-270

Результати вимірювання швидкості та періоду сейсмічних коливань після обробки сейсмограм наведено в таблиці 1.4.

Таблиця 1.4

Номер блоку	25					
Величина максимальної амплітуди коливань на екрані цифрового осцилографа ТPS 2014, В	A_x^{ep} 0.335	A_y^{ep} 0.310	A_z^{ep} 0.150	$A_x^{\delta y \partial}$ 0.268	$A_y^{\delta y \partial}$ —	$A_z^{\delta y \partial}$ —
Величина коефіцієнта перетворювання напруги в швидкість механічних коливань, ($см/с$) / В	0.3571	0.4545	0.4167	0.3030	—	—
Швидкість сейсмічних коливань за окремими складовими, $см/с$	v_x^{ep} 0.120	v_y^{ep} 0.141	v_z^{ep} 0.063	$v_x^{\delta y \partial}$ 0.081	$v_y^{\delta y \partial}$ —	$v_z^{\delta y \partial}$ —
Повна швидкість сейсмічних коливань, $см/с$	v^{ep}			$v^{\delta y \partial}$		
	0.196			0.140		
Бал сейсмічних коливань за Міжнародною сейсмічною шкалою MSK-64	0.98					
Період сейсмічних коливань за окремими складовими, $мс$	T_x^{ep} 30	T_y^{ep} 30	T_z^{ep} 20	$T_x^{\delta y \partial}$ 45	$T_y^{\delta y \partial}$ —	$T_z^{\delta y \partial}$ —

Таблиця 1.5

Номер блоку	26
Початок підриву блоку $\Delta t, мс$	6046
Кінець підриву блока $\tau, мс$	6843
Загальна кількість свердловин $n, шт$	54
Загальна маса вибухівки $Q, т$ максимальна маса вибухівки на ступень уповільнення $q, т$	42.29 1.70
Відстань до точки спостереження $R, м$	1950
Горизонт $H, м$	-240/-255

Результати вимірювання швидкості та періоду сейсмічних коливань після обробки сейсмограм наведено в таблиці 1.6.

Таблиця 1.6

Номер блоку	26					
Величина максимальної амплітуди коливань на екрані цифрового осцилографа ТPS 2014, В	A_x^{ep}	A_y^{ep}	A_z^{ep}	$A_x^{\delta y\delta}$	$A_y^{\delta y\delta}$	$A_z^{\delta y\delta}$
	0.129	0.106	0.076	0.103	—	—
Величина коефіцієнта перетворювання напруги в швидкість механічних коливань, ($см/с$) / В	0.3571	0.4545	0.4167	0.3030	—	—
Швидкість сейсмічних коливань за окремими складовими, $см/с$	v_x^{ep}	v_y^{ep}	v_z^{ep}	$v_x^{\delta y\delta}$	$v_y^{\delta y\delta}$	$v_z^{\delta y\delta}$
	0.046	0.048	0.032	0.031	—	—
Повна швидкість сейсмічних коливань, $см/с$	v^{ep}			$v^{\delta y\delta}$		
	0.074			0.054		
Бал сейсмічних коливань за Міжнародною сейсмічною шкалою MSK-64	0.37					
Період сейсмічних коливань за окремими складовими, $мс$	T_x^{ep}	T_y^{ep}	T_z^{ep}	$T_x^{\delta y\delta}$	$T_y^{\delta y\delta}$	$T_z^{\delta y\delta}$
	40	35	25	50	—	—

Таблиця 1.7

Номер блоку	27
Початок підриву блоку $\Delta t, мс$	6351
Кінець підриву блока $\tau, мс$	9030
Загальна кількість свердловин $n, шт$	168
Загальна маса вибухівки $Q, т$ максимальна маса вибухівки на ступень уповільнення $q, т$	127.37 1.60
Відстань до точки спостереження $R, м$	2650
Горизонт $H, м$	-90/-105

Результати вимірювання швидкості та періоду сейсмічних коливань після обробки сейсмограм наведено в таблиці 1.8.

Таблиця 1.8

Номер блоку	27					
Величина максимальної амплітуди коливань на екрані цифрового осцилографа ТPS 2014, В	A_x^{ep} 0.098	A_y^{ep} 0.075	A_z^{ep} 0.043	$A_x^{\delta y \partial}$ 0.065	$A_y^{\delta y \partial}$ —	$A_z^{\delta y \partial}$ —
Величина коефіцієнта перетворювання напруги в швидкість механічних коливань, ($см/с$) / В	0.3571	0.4545	0.4167	0.3030	—	—
Швидкість сейсмічних коливань за окремими складовими, $см/с$	v_x^{ep} 0.035	v_y^{ep} 0.034	v_z^{ep} 0.018	$v_x^{\delta y \partial}$ 0.020	$v_y^{\delta y \partial}$ —	$v_z^{\delta y \partial}$ —
Повна швидкість сейсмічних коливань, $см/с$	v^{ep}			$v^{\delta y \partial}$		
	0.052			0.035		
Бал сейсмічних коливань за Міжнародною сейсмічною шкалою MSK-64	0.26					
Період сейсмічних коливань за окремими складовими, $мс$	T_x^{ep} 30	T_y^{ep} 40	T_z^{ep} 30	$T_x^{\delta y \partial}$ 50	$T_y^{\delta y \partial}$ —	$T_z^{\delta y \partial}$ —

Таблиця 1.9

Номер блоку	28
Початок підриву блоку $\Delta t, мс$	600
Кінець підриву блока $\tau, мс$	2456
Загальна кількість свердловин $n, шт$	173
Загальна маса вибухівки $Q, т$ максимальна маса вибухівки на ступень уповільнення $q, т$	72.05245 0.90
Відстань до точки спостереження $R, м$	1350
Горизонт $H, м$	-30/-60

Результати вимірювання швидкості та періоду сейсмічних коливань після обробки сейсмограм наведено в таблиці 1.10.

Таблиця 1.10

Номер блоку	28					
Величина максимальної амплітуди коливань на екрані цифрового осцилографа ТPS 2014, В	A_x^{ep} 0.259	A_y^{ep} 0.219	A_z^{ep} 0.166	$A_x^{\delta y \partial}$ 0.134	$A_y^{\delta y \partial}$ —	$A_z^{\delta y \partial}$ —
Величина коефіцієнта перетворювання напруги в швидкість механічних коливань, ($см/с$) / В	0.3571	0.4545	0.4167	0.3030	—	—
Швидкість сейсмічних коливань за окремими складовими, $см/с$	v_x^{ep} 0.092	v_y^{ep} 0.100	v_z^{ep} 0.069	$v_x^{\delta y \partial}$ 0.041	$v_y^{\delta y \partial}$ —	$v_z^{\delta y \partial}$ —
Повна швидкість сейсмічних коливань, $см/с$	v^{ep}			$v^{\delta y \partial}$		
	0.152			0.068		
Бал сейсмічних коливань за Міжнародною сейсмічною шкалою MSK-64	0.76					
Період сейсмічних коливань за окремими складовими, $мс$	T_x^{ep} 25	T_y^{ep} 40	T_z^{ep} 25	$T_x^{\delta y \partial}$ 45	$T_y^{\delta y \partial}$ —	$T_z^{\delta y \partial}$ —

Результати проведених вимірювань показали, що інтенсивність сейсмічних коливань під час виконання масового вибуху визначалась блоком №25, який знаходився на відстані 1,65 км від точки спостереження. При цьому максимальна величина швидкості сейсмічних коливань склала 0,196 см/с, що відповідає **0,98** балам Міжнародної сейсмічної шкали MSK-64.

Сейсмічні коливання, що збуджені підривом інших вибухових блоків не перевищували по швидкості 0,152 см/с, що відповідає 0,76 балам Міжнародної сейсмічної шкали MSK-64.

Коефіцієнт сприйняття коливань будівлею склав величину $K_c = 0,704$.

Загальна тривалість процесу сейсмічних коливань склала близько 10 секунд.

Таким чином, рівень сейсмічних коливань ґрунту, які були створенні масовими вибухами зарядів в кар'єрі АТ «ПівдГЗК» 16 березня 2022 року **відповідає** допустимим нормам.

Результати вимірювання ударно-повітряних хвиль, створених масовими вибухами в кар'єрі 16 березня 2022 року наведено в таблиці 1.11.

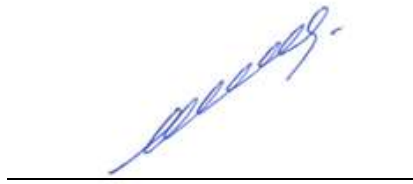
Таблиця 1.11.

Номер блоку	24	25	26	27	28
Величина відхилення стрілки барографа на осцилограмі, мм	0,2	0,2	0,2	0	0,5
Величина тиску ударних повітряних хвиль, Па	20	20	20	0	50

Згідно протоколу повірки величині відхилення стрілки барографу в 1 мм відповідає тиск 100 Па. Результати проведених вимірювань надлишкового тиску повітря показали, що максимальна інтенсивність ударних повітряних хвиль визначилась блоком №28, який знаходився на відстані 1,35 км від точки спостереження. Таким чином, величина тиску склала 50 Па. Ударні повітряні хвилі від решти вибухових блоків не перевищували 20 Па.

Таким чином, максимальний тиск ударних повітряних хвиль, які були створені масовими вибухами зарядів в кар'єрі АТ «ПівдГЗК» 16 березня 2022 року, відповідає допустимим нормам.

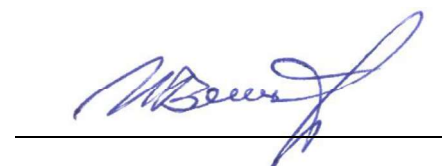
Науковий керівник роботи
д.т.н., проф.



Є.О.Несмашний

Виконавці:

к.т.н., доц.



В.П.Ісаєв

інженер



М.О.Крамарчук

інженер



О.І.Кучерявенко

ЗАТВЕРДЖУЮ

Директор КП “Академічний Дім”

Болотніков А.В.



« 23 » березня 2022 р

ПРОТОКОЛ

за результатами вимірювань параметрів сейсмічних і ударно-повітряних хвиль, створених масовими вибухами в кар’єрі АТ «ПІВДГЗК»

КП “Академічний Дім” виконало вимірювання сейсмічних і ударно-повітряних хвиль, створених масовими вибухами в кар’єрі АТ «ПівдГЗК». Місце проведення вимірювань знаходилося біля триповерхового цегляного будинку № 29, розташованого по вул. Салтиківська, м. Кривий Ріг (Центр дитячої та юнацької творчості «Мрія»).

Дата вибуху 23 березня 2022 року. Загальна маса вибухової речовини $381,20$ тон. На час проведення масових вибухів о 12 год. 00 хв. 00 с. температура повітря складала $+13^{\circ}\text{C}$, вологість – 46% , швидкість східного вітру $0,5$ м/с.

Час початку підриву блоків Δt , час завершення підриву τ , загальна кількість свердловин n , загальна маса вибухівки Q , максимальна маса вибухівки на ступень уповільнення q , відстань до точки спостереження R , горизонт знаходження вибухового блоку H , наведено в табл. 1.1 – 1.8.

Вибухові блоки № 29, 30, 31 та 32 підривалися за допомогою системи ініціювання вибуху "ShockStar".

Для об’єкту, де проводилися вимірювання, допустимою величиною сейсмічних навантажень прийнято рівень, еквівалентний 2 балам міжнародної сейсмічної шкали MSK-64, якому відповідає значення швидкості сейсмічних коливань $0,4$ см/с.

Таблиця 1.1

Номер блоку	29
Початок підриву блоку $\Delta t, мс$	600
Кінець підриву блока $\tau, мс$	2811
Загальна кількість свердловин $n, шт$	70
Загальна маса вибухівки $Q, т$	65.44
максимальна маса вибухівки на ступень уповільнення $q, т$	1.47
Відстань до точки спостереження $R, м$	2100
Горизонт $H, м$	-330/-345

Результати вимірювання швидкості та періоду сейсмічних коливань після обробки сейсмограм наведено в таблиці 1.2.

Таблиця 1.2

Номер блоку	29					
Величина максимальної амплітуди коливань на екрані цифрового осцилографа TPS 2014, B	A_x^{ep}	A_y^{ep}	A_z^{ep}	$A_x^{\delta y \delta}$	$A_y^{\delta y \delta}$	$A_z^{\delta y \delta}$
	0.384	0.230	0.323	0.238	—	—
Величина коефіцієнта перетворювання напруги в швидкість механічних коливань, $(см/с) / B$	0.3571	0.4545	0.4167	0.3030	—	—
Швидкість сейсмічних коливань за окремими складовими, $см/с$	v_x^{ep}	v_y^{ep}	v_z^{ep}	$v_x^{\delta y \delta}$	$v_y^{\delta y \delta}$	$v_z^{\delta y \delta}$
	0.137	0.105	0.135	0.072	—	—
Повна швидкість сейсмічних коливань, $см/с$	v^{ep}			$v^{\delta y \delta}$		
	0.219			0.125		
Бал сейсмічних коливань за Міжнародною сейсмічною шкалою MSK-64	1.10					
Період сейсмічних коливань за окремими складовими, $мс$	T_x^{ep}	T_y^{ep}	T_z^{ep}	$T_x^{\delta y \delta}$	$T_y^{\delta y \delta}$	$T_z^{\delta y \delta}$
	40	30	20	25	—	—

Таблиця 1.3

Номер блоку	30
Початок підриву блоку $\Delta t, мс$	2820
Кінець підриву блока $\tau, мс$	7280
Загальна кількість свердловин $n, шт$	310
Загальна маса вибухівки $Q, т$ максимальна маса вибухівки на ступень уповільнення $q, т$	258.71 2.63
Відстань до точки спостереження $R, м$	2000
Горизонт $H, м$	-315/-330

Результати вимірювання швидкості та періоду сейсмічних коливань після обробки сейсмограм наведено в таблиці 1.4.

Таблиця 1.4

Номер блоку	30					
Величина максимальної амплітуди коливань на екрані цифрового осцилографа ТPS 2014, В	A_x^{ep} 0.303	A_y^{ep} 0.358	A_z^{ep} 0.367	$A_x^{\delta y \partial}$ 0.354	$A_y^{\delta y \partial}$ —	$A_z^{\delta y \partial}$ —
Величина коефіцієнта перетворювання напруги в швидкість механічних коливань, ($см/с$) / В	0.3571	0.4545	0.4167	0.3030	—	—
Швидкість сейсмічних коливань за окремими складовими, $см/с$	v_x^{ep} 0.108	v_y^{ep} 0.163	v_z^{ep} 0.153	$v_x^{\delta y \partial}$ 0.107	$v_y^{\delta y \partial}$ —	$v_z^{\delta y \partial}$ —
Повна швидкість сейсмічних коливань, $см/с$	v^{ep}			$v^{\delta y \partial}$		
	0.248			0.185		
Бал сейсмічних коливань за Міжнародною сейсмічною шкалою MSK-64	1.24					
Період сейсмічних коливань за окремими складовими, $мс$	T_x^{ep} 30	T_y^{ep} 30	T_z^{ep} 25	$T_x^{\delta y \partial}$ 25	$T_y^{\delta y \partial}$ —	$T_z^{\delta y \partial}$ —

Таблиця 1.5

Номер блоку	31
Початок підриву блоку $\Delta t, мс$	7650
Кінець підриву блока $\tau, мс$	8439
Загальна кількість свердловин $n, шт$	53
Загальна маса вибухівки $Q, т$ максимальна маса вибухівки на ступень уповільнення $q, т$	43.82 2.43
Відстань до точки спостереження $R, м$	2850
Горизонт $H, м$	-90/-105

Результати вимірювання швидкості та періоду сейсмічних коливань після обробки сейсмограм наведено в таблиці 1.6.

Таблиця 1.6

Номер блоку	31					
Величина максимальної амплітуди коливань на екрані цифрового осцилографа ТPS 2014, В	A_x^{ep} 0.154	A_y^{ep} 0.155	A_z^{ep} 0.189	$A_x^{\delta y \partial}$ 0.232	$A_y^{\delta y \partial}$ —	$A_z^{\delta y \partial}$ —
Величина коефіцієнта перетворювання напруги в швидкість механічних коливань, ($см/с$) / В	0.3571	0.4545	0.4167	0.3030	—	—
Швидкість сейсмічних коливань за окремими складовими, $см/с$	v_x^{ep} 0.055	v_y^{ep} 0.070	v_z^{ep} 0.079	$v_x^{\delta y \partial}$ 0.070	$v_y^{\delta y \partial}$ —	$v_z^{\delta y \partial}$ —
Повна швидкість сейсмічних коливань, $см/с$	v^{ep}			$v^{\delta y \partial}$		
	0.119			0.121		
Бал сейсмічних коливань за Міжнародною сейсмічною шкалою MSK-64	0.60					
Період сейсмічних коливань за окремими складовими, $мс$	T_x^{ep} 35	T_y^{ep} 25	T_z^{ep} 30	$T_x^{\delta y \partial}$ 25	$T_y^{\delta y \partial}$ —	$T_z^{\delta y \partial}$ —

Таблиця 1.7

Номер блоку	32
Початок підриву блоку $\Delta t, мс$	9100
Кінець підриву блока $\tau, мс$	9550
Загальна кількість свердловин $n, шт$	57
Загальна маса вибухівки $Q, т$ максимальна маса вибухівки на ступень уповільнення $q, т$	13.23 1.53
Відстань до точки спостереження $R, м$	3000
Горизонт $H, м$	-75/-90

Результати вимірювання швидкості та періоду сейсмічних коливань після обробки сейсмограм наведено в таблиці 1.8.

Таблиця 1.8

Номер блоку	32					
Величина максимальної амплітуди коливань на екрані цифрового осцилографа ТPS 2014, В	A_x^{ep} 0.052	A_y^{ep} 0.050	A_z^{ep} 0.045	$A_x^{\delta y \partial}$ 0.063	$A_y^{\delta y \partial}$ —	$A_z^{\delta y \partial}$ —
Величина коефіцієнта перетворювання напруги в швидкість механічних коливань, ($см/с$) / В	0.3571	0.4545	0.4167	0.3030	—	—
Швидкість сейсмічних коливань за окремими складовими, $см/с$	v_x^{ep} 0.019	v_y^{ep} 0.023	v_z^{ep} 0.019	$v_x^{\delta y \partial}$ 0.019	$v_y^{\delta y \partial}$ —	$v_z^{\delta y \partial}$ —
Повна швидкість сейсмічних коливань, $см/с$	v^{ep}			$v^{\delta y \partial}$		
	0.035			0.033		
Бал сейсмічних коливань за Міжнародною сейсмічною шкалою MSK-64	0.18					
Період сейсмічних коливань за окремими складовими, $мс$	T_x^{ep} 40	T_y^{ep} 30	T_z^{ep} 25	$T_x^{\delta y \partial}$ 30	$T_y^{\delta y \partial}$ —	$T_z^{\delta y \partial}$ —

Результати проведених вимірювань показали, що інтенсивність сейсмічних коливань під час виконання масового вибуху визначалась блоком №30, який знаходився на відстані 2,00 км від точки спостереження. При цьому максимальна величина швидкості сейсмічних коливань склала 0,248 см/с, що відповідає 1,24 балам Міжнародної сейсмічної шкали MSK-64.

Сейсмічні коливання, що збуджені підривом інших вибухових блоків не перевищували по швидкості 0,219 см/с, що відповідає 1,10 балам Міжнародної сейсмічної шкали MSK-64.

Коефіцієнт сприйняття коливань будівлею склав величину $K_c = 0,746$.

Загальна тривалість процесу сейсмічних коливань склала близько 12 секунд.

Таким чином, рівень сейсмічних коливань ґрунту, які були створенні масовими вибухами зарядів в кар'єрі АТ «ПівдГЗК» 23 березня 2022 року відповідає допустимим нормам.

Результати вимірювання ударно-повітряних хвиль, створених масовими вибухами в кар'єрі 23 березня 2022 року наведено в таблиці 1.9.

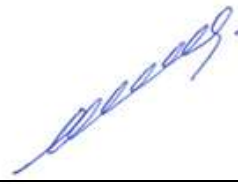
Таблиця 1.9.

Номер блоку	29	30	31	32
Величина відхилення стрілки барографа на осцилограмі, мм	0,2	0,5	0,2	0,2
Величина тиску ударних повітряних хвиль, Па	20	50	20	20

Згідно протоколу повірки величині відхилення стрілки барографу в 1 мм відповідає тиск 100 Па. Результати проведених вимірювань надлишкового тиску повітря показали, що максимальна інтенсивність ударних повітряних хвиль визначилася блоком №30, який знаходився на відстані 2,00 км від точки спостереження. Таким чином, величина тиску склала 50 Па. Ударні повітряні хвилі від решти вибухових блоків не перевищували 20 Па.

Таким чином, максимальний тиск ударних повітряних хвиль, які були створені масовими вибухами зарядів в кар'єрі АТ «ПівдГЗК» 23 березня 2022 року, відповідає допустимим нормам.

Науковий керівник роботи
д.т.н., проф.



Є.О.Несмашний

Виконавці:

к.т.н., доц.



В.П.Ісаєв

інженер



М.О.Крамарчук

інженер



О.І.Кучерявенко

ЗАТВЕРДЖУЮ

Директор КП "Академічний Дім"

Болотніков А.В.

« 09 » лютого 2022 р

ПРОТОКОЛ

за результатами вимірювань параметрів сейсмічних і ударно-повітряних хвиль, створених масовими вибухами в кар'єрі АТ «ПівдГЗК»

КП "Академічний Дім" виконало вимірювання сейсмічних і ударно-повітряних хвиль, створених масовими вибухами в кар'єрі АТ «ПівдГЗК». Місце проведення вимірювань знаходилося біля одноповерхового цегляного будинку № 29, розташованого по вул. Шпака, м. Кривий Ріг.

Дата вибуху 09 лютого 2022 року. Загальна маса вибухової речовини 618,93865 тон. На час проведення масових вибухів о 12 год. 00 хв. 00 с. температура повітря складала +3°C, вологість – 72%, швидкість північного вітру 0,5 м/с.

Час початку підриву блоків Δt , час завершення підриву τ , загальна кількість свердловин n , загальна маса вибухівки Q , максимальна маса вибухівки на ступень уповільнення q , відстань до точки спостереження R , горизонт знаходження вибухового блоку H , наведено в табл. 1.1 – 1.14.

Вибухові блоки №10, 11, 13, 14, 15 та 16 підривалися за допомогою системи ініціювання вибуху "ShockStar", блок №12 – "ShockStar", ДШЕ-12.

Для об'єкту, де проводилися вимірювання, допустимою величиною сейсмічних навантажень прийнято рівень, еквівалентний 2 балам міжнародної сейсмічної шкали MSK-64, якому відповідає значення швидкості сейсмічних коливань 0,4 см/с.

Таблиця 1.1

Номер блоку	10
Початок підриву блоку $\Delta t, мс$	3600
Кінець підриву блока $\tau, мс$	5409
Загальна кількість свердловин $n, шт$	43
Загальна маса вибухівки $Q, т$	50.57
максимальна маса вибухівки на ступень уповільнення $q, т$	2.30
Відстань до точки спостереження $R, м$	2150
Горизонт $H, м$	-330/-345

Результати вимірювання швидкості та періоду сейсмічних коливань після обробки сейсмограм наведено в таблиці 1.2.

Таблиця 1.2

Номер блоку	10					
Величина максимальної амплітуди коливань на екрані цифрового осцилографа TPS 2014, B	A_x^{ep} 0.135	A_y^{ep} 0.098	A_z^{ep} 0.129	$A_x^{\delta y \partial}$ 0.107	$A_y^{\delta y \partial}$ —	$A_z^{\delta y \partial}$ —
Величина коефіцієнта перетворювання напруги в швидкість механічних коливань, $(см/с) / B$	0.3571	0.4545	0.4167	0.3030	—	—
Швидкість сейсмічних коливань за окремими складовими, $см/с$	v_x^{ep} 0.048	v_y^{ep} 0.045	v_z^{ep} 0.054	$v_x^{\delta y \partial}$ 0.032	$v_y^{\delta y \partial}$ —	$v_z^{\delta y \partial}$ —
Повна швидкість сейсмічних коливань, $см/с$	v^{ep}			$v^{\delta y \partial}$		
	0.085			0.055		
Бал сейсмічних коливань за Міжнародною сейсмічною шкалою MSK-64	0.43					
Період сейсмічних коливань за окремими складовими, $мс$	T_x^{ep} 25	T_y^{ep} 20	T_z^{ep} 20	$T_x^{\delta y \partial}$ 25	$T_y^{\delta y \partial}$ —	$T_z^{\delta y \partial}$ —

Таблиця 1.3

Номер блоку	11
Початок підриву блоку $\Delta t, мс$	5650
Кінець підриву блоку $\tau, мс$	8161
Загальна кількість свердловин $n, шт$	169
Загальна маса вибухівки $Q, т$	136.45
максимальна маса вибухівки на ступень уповільнення $q, т$	1.99
Відстань до точки спостереження $R, м$	2000
Горизонт $H, м$	-255/-270

Результати вимірювання швидкості та періоду сейсмічних коливань після обробки сейсмограм наведено в таблиці 1.4.

Таблиця 1.4

Номер блоку	11					
Величина максимальної амплітуди коливань на екрані цифрового осцилографа TPS 2014, B	A_x^{ep} 0.397	A_y^{ep} 0.380	A_z^{ep} 0.307	$A_x^{\delta y \delta}$ 0.262	$A_y^{\delta y \delta}$ —	$A_z^{\delta y \delta}$ —
Величина коефіцієнта перетворювання напруги в швидкість механічних коливань, $(см/с) / B$	0.3571	0.4545	0.4167	0.3030	—	—
Швидкість сейсмічних коливань за окремими складовими, $см/с$	v_x^{ep} 0.142	v_y^{ep} 0.173	v_z^{ep} 0.128	$v_x^{\delta y \delta}$ 0.079	$v_y^{\delta y \delta}$ —	$v_z^{\delta y \delta}$ —
Повна швидкість сейсмічних коливань, $см/с$	v^{ep} 0.258			$v^{\delta y \delta}$ 0.137		
Бал сейсмічних коливань за Міжнародною сейсмічною шкалою MSK-64	1.29					
Період сейсмічних коливань за окремими складовими, $мс$	T_x^{ep} 30	T_y^{ep} 20	T_z^{ep} 20	$T_x^{\delta y \delta}$ 25	$T_y^{\delta y \delta}$ —	$T_z^{\delta y \delta}$ —

Таблиця 1.5

Номер блоку	12
Початок підриву блоку $\Delta t, мс$	8217
Кінець підриву блока $\tau, мс$	8264
Загальна кількість свердловин $n, шт$	48
Загальна маса вибухівки $Q, т$ максимальна маса вибухівки на ступень уповільнення $q, т$	1.9959 0.65265
Відстань до точки спостереження $R, м$	2400
Горизонт $H, м$	-180/-210

Результати вимірювання швидкості та періоду сейсмічних коливань після обробки сейсмограм наведено в таблиці 1.6.

Таблиця 1.6

Номер блоку	12					
Величина максимальної амплітуди коливань на екрані цифрового осцилографа TPS 2014, B	A_x^{ep} 0.093	A_y^{ep} 0.039	A_z^{ep} 0.034	$A_x^{\delta y \vartheta}$ 0.021	$A_y^{\delta y \vartheta}$ —	$A_z^{\delta y \vartheta}$ —
Величина коефіцієнта перетворювання напруги в швидкість механічних коливань, $(см/с) / B$	0.3571	0.4545	0.4167	0.3030	—	—
Швидкість сейсмічних коливань за окремими складовими, $см/с$	v_x^{ep} 0.033	v_y^{ep} 0.018	v_z^{ep} 0.014	$v_x^{\delta y \vartheta}$ 0.010	$v_y^{\delta y \vartheta}$ —	$v_z^{\delta y \vartheta}$ —
Повна швидкість сейсмічних коливань, $см/с$	v^{ep} 0.040			$v^{\delta y \vartheta}$ 0.017		
Бал сейсмічних коливань за Міжнародною сейсмічною шкалою MSK-64	0.20					
Період сейсмічних коливань за окремими складовими, $мс$	T_x^{ep} 25	T_y^{ep} 20	T_z^{ep} 30	$T_x^{\delta y \vartheta}$ 30	$T_y^{\delta y \vartheta}$ —	$T_z^{\delta y \vartheta}$ —

Таблиця 1.7

Номер блоку	13
Початок підриву блоку $\Delta t, мс$	13930
Кінець підриву блока $\tau, мс$	15895
Загальна кількість свердловин $n, шт$	123
Загальна маса вибухівки $Q, т$ максимальна маса вибухівки на ступень уповільнення $q, т$	100.19 1.82
Відстань до точки спостереження $R, м$	2550
Горизонт $H, м$	-105/-120

Результати вимірювання швидкості та періоду сейсмічних коливань після обробки сейсмограм наведено в таблиці 1.8.

Таблиця 1.8

Номер блоку	13					
Величина максимальної амплітуди коливань на екрані цифрового осцилографа TPS 2014, B	A_x^{ep} 0.072	A_y^{ep} 0.055	A_z^{ep} 0.087	$A_x^{\delta y\delta}$ 0.095	$A_y^{\delta y\delta}$ —	$A_z^{\delta y\delta}$ —
Величина коефіцієнта перетворювання напруги в швидкість механічних коливань, $(см/с) / B$	0.3571	0.4545	0.4167	0.3030	—	—
Швидкість сейсмічних коливань за окремими складовими, $см/с$	v_x^{ep} 0.026	v_y^{ep} 0.025	v_z^{ep} 0.036	$v_x^{\delta y\delta}$ 0.029	$v_y^{\delta y\delta}$ —	$v_z^{\delta y\delta}$ —
Повна швидкість сейсмічних коливань, $см/с$	v^{ep}			$v^{\delta y\delta}$		
	0.051			0.050		
Бал сейсмічних коливань за Міжнародною сейсмічною шкалою MSK-64	0.26					
Період сейсмічних коливань за окремими складовими, $мс$	T_x^{ep} 25	T_y^{ep} 20	T_z^{ep} 25	$T_x^{\delta y\delta}$ 25	$T_y^{\delta y\delta}$ —	$T_z^{\delta y\delta}$ —

Таблиця 1.9

Номер блоку	14
Початок підриву блоку $\Delta t, мс$	8625
Кінець підриву блока $\tau, мс$	10019
Загальна кількість свердловин $n, шт$	89
Загальна маса вибухівки $Q, т$	73.91
максимальна маса вибухівки на ступень уповільнення $q, т$	1.89
Відстань до точки спостереження $R, м$	3100
Горизонт $H, м$	-90/-105

Результати вимірювання швидкості та періоду сейсмічних коливань після обробки сейсмограм наведено в таблиці 1.10.

Таблиця 1.10

Номер блоку	14					
Величина максимальної амплітуди коливань на екрані цифрового осцилографа TPS 2014, В	A_x^{sp}	A_y^{sp}	A_z^{sp}	$A_x^{\delta y \phi}$	$A_y^{\delta y \phi}$	$A_z^{\delta y \phi}$
	0.080	0.051	0.076	0.077	—	—
Величина коефіцієнта перетворювання напруги в швидкість механічних коливань, ($см/с$) / В	0.3571	0.4545	0.4167	0.3030	—	—
Швидкість сейсмічних коливань за окремими складовими, $см/с$	v_x^{sp}	v_y^{sp}	v_z^{sp}	$v_x^{\delta y \phi}$	$v_y^{\delta y \phi}$	$v_z^{\delta y \phi}$
	0.029	0.023	0.032	0.023	—	—
Повна швидкість сейсмічних коливань, $см/с$	v^{sp}			$v^{\delta y \phi}$		
	0.049			0.039		
Бал сейсмічних коливань за Міжнародною сейсмічною шкалою MSK-64	0.25					
Період сейсмічних коливань за окремими складовими, $мс$	T_x^{sp}	T_y^{sp}	T_z^{sp}	$T_x^{\delta y \phi}$	$T_y^{\delta y \phi}$	$T_z^{\delta y \phi}$
	25	20	20	25	—	—

Таблиця 1.11

Номер блоку	15
Початок підриву блоку $\Delta t, мс$	10169
Кінець підриву блока $\tau, мс$	13730
Загальна кількість свердловин $n, шт$	252
Загальна маса вибухівки $Q, т$	180.18
максимальна маса вибухівки на ступень уповільнення $q, т$	1.66
Відстань до точки спостереження $R, м$	3000
Горизонт $H, м$	-75/-90

Результати вимірювання швидкості та періоду сейсмічних коливань після обробки сейсмограм наведено в таблиці 1.12.

Таблиця 1.12

Номер блоку	15					
Величина максимальної амплітуди коливань на екрані цифрового осцилографа TPS 2014, B	A_x^{sp} 0.080	A_y^{sp} 0.047	A_z^{sp} 0.062	$A_x^{\delta y\vartheta}$ 0.057	$A_y^{\delta y\vartheta}$ —	$A_z^{\delta y\vartheta}$ —
Величина коефіцієнта перетворювання напруги в швидкість механічних коливань, $(см/с) / B$	0.3571	0.4545	0.4167	0.3030	—	—
Швидкість сейсмічних коливань за окремими складовими, $см/с$	v_x^{sp} 0.029	v_y^{sp} 0.021	v_z^{sp} 0.026	$v_x^{\delta y\vartheta}$ 0.017	$v_y^{\delta y\vartheta}$ —	$v_z^{\delta y\vartheta}$ —
Повна швидкість сейсмічних коливань, $см/с$	v^{sp} 0.044			$v^{\delta y\vartheta}$ 0.026		
Бал сейсмічних коливань за Міжнародною сейсмічною шкалою MSK-64	0.22					
Період сейсмічних коливань за окремими складовими, $мс$	T_x^{sp} 30	T_y^{sp} 25	T_z^{sp} 25	$T_x^{\delta y\vartheta}$ 30	$T_y^{\delta y\vartheta}$ —	$T_z^{\delta y\vartheta}$ —

Таблиця 1.13

Номер блоку	16
Початок підриву блоку $\Delta t, мс$	625
Кінець підриву блока $\tau, мс$	3241
Загальна кількість свердловин $n, шт$	130
Загальна маса вибухівки $Q, т$ максимальна маса вибухівки на ступень уповільнення $q, т$	75.64275 0.96
Відстань до точки спостереження $R, м$	1350
Горизонт $H, м$	-30/-60

Результати вимірювання швидкості та періоду сейсмічних коливань після обробки сейсмограм наведено в таблиці 1.12.

Таблиця 1.14

Номер блоку	16					
Величина максимальної амплітуди коливань на екрані цифрового осцилографа TPS 2014, B	A_x^{ep} 0.262	A_y^{ep} 0.226	A_z^{ep} 0.293	$A_x^{\delta y\delta}$ 0.280	$A_y^{\delta y\delta}$ —	$A_z^{\delta y\delta}$ —
Величина коефіцієнта перетворювання напруги в швидкість механічних коливань, $(см/с) / B$	0.3571	0.4545	0.4167	0.3030	—	—
Швидкість сейсмічних коливань за окремими складовими, $см/с$	v_x^{ep} 0.094	v_y^{ep} 0.103	v_z^{ep} 0.122	$v_x^{\delta y\delta}$ 0.085	$v_y^{\delta y\delta}$ —	$v_z^{\delta y\delta}$ —
Повна швидкість сейсмічних коливань, $см/с$	v^{ep}			$v^{\delta y\delta}$		
	0.185			0.167		
Бал сейсмічних коливань за Міжнародною сейсмічною шкалою MSK-64	0.93					
Період сейсмічних коливань за окремими складовими, $мс$	T_x^{ep} 20	T_y^{ep} 20	T_z^{ep} 20	$T_x^{\delta y\delta}$ 25	$T_y^{\delta y\delta}$ —	$T_z^{\delta y\delta}$ —

Результати проведених вимірювань показали, що інтенсивність сейсмічних коливань під час виконання масового вибуху визначалась блоком №11, який знаходився на відстані 2,00 км від точки спостереження. При цьому максимальна величина швидкості сейсмічних коливань склала 0,258 см/с, що відповідає 1,29 балам Міжнародної сейсмічної шкали MSK-64.

Сейсмічні коливання, що збуджені підривом інших вибухових блоків не перевищували по швидкості 0,185 см/с, що відповідає 0,93 балам Міжнародної сейсмічної шкали MSK-64.

Коефіцієнт сприйняття коливань будівлею склав величину $K_c = 0,531$.

Загальна тривалість процесу сейсмічних коливань склала близько 17 секунд.

Таким чином, рівень сейсмічних коливань ґрунту, які були створені масовими вибухами зарядів в кар'єрі АТ «ПівдГЗК» 09 лютого 2022 року відповідає допустимим нормам.

Результати вимірювання ударно-повітряних хвиль, створених масовими вибухами в кар'єрі 09 лютого 2022 року наведено в таблиці 1.15.

Таблиця 1.15.

Номер блоку	10	11	12	13	14	15	16
Величина відхилення стрілки барографа на осцилограмі, мм	0,5	0,5	0	0,2	0,2	0,2	0,2
Величина тиску ударних повітряних хвиль, Па	50	50	0	20	20	20	20

Згідно протоколу повірки величині відхилення стрілки барографу в 1 мм відповідає тиск 100 Па. Результати проведених вимірювань надлишкового тиску повітря показали, що максимальна інтенсивність ударних повітряних хвиль визначилася блоками №10 та 11, які відповідно знаходились на відстанях 2,15 та 2,00 км від точки спостереження. Таким чином, величина тиску склала 50 Па. Ударні повітряні хвилі від решти вибухових блоків не перевищували 20 Па.

Таким чином, максимальний тиск ударних повітряних хвиль, які були створенні масовими вибухами зарядів в кар'єрі АТ «ПівдГЗК» 09 лютого 2022 року, відповідає допустимим нормам.

Науковий керівник роботи
д.т.н., проф.

Є.О.Несмашний

Виконавці:

к.т.н., доц.

В.П.Ісаєв

інженер

М.О.Крамарчук

інженер

О.І.Кучерявенко

ЗАТВЕРДЖУЮ

Директор КП "Академічний Дім"

Болотніков А.В.

« 23 » лютого 2022 р

ПРОТОКОЛ

за результатами вимірювань параметрів сейсмічних і ударно-повітряних хвиль, створених масовими вибухами в кар'єрі АТ «ПівДГЗК»

КП "Академічний Дім" виконало вимірювання сейсмічних і ударно-повітряних хвиль, створених масовими вибухами в кар'єрі АТ «ПівДГЗК». Місце проведення вимірювань знаходилося біля одноповерхового цегляного будинку № 17, розташованого по вул. Скалевата, м. Кривий Ріг.

Дата вибуху 23 лютого 2022 року. Загальна маса вибухової речовини 551,96575 тон. На час проведення масових вибухів о 12 год. 00 хв. 00 с. температура повітря складала +8°C, вологість – 62%, швидкість північного вітру 0,5 м/с.

Час початку підриву блоків Δt , час завершення підриву τ , загальна кількість свердловин n , загальна маса вибухівки Q , максимальна маса вибухівки на ступень уповільнення q , відстань до точки спостереження R , горизонт знаходження вибухового блоку H , наведено в табл. 1.1 – 1.14.

Вибухові блоки №17, 18, 19, 20, 21 та 22 підривалися за допомогою системи ініціювання вибуху "ShockStar", блок №23 – "ShockStar", ДШЕ-12.

Для об'єкту, де проводилися вимірювання, допустимою величиною сейсмічних навантажень прийнято рівень, еквівалентний 2 балам міжнародної сейсмічної шкали MSK-64, якому відповідає значення швидкості сейсмічних коливань 0,4 см/с.

Таблиця 1.1

Номер блоку	17
Початок підриву блоку $\Delta t, мс$	5100
Кінець підриву блока $\tau, мс$	6131
Загальна кількість свердловин $n, шт$	30
Загальна маса вибухівки $Q, т$	27.49
максимальна маса вибухівки на ступень уповільнення $q, т$	1.94
Відстань до точки спостереження $R, м$	2100
Горизонт $H, м$	-330/-345

Результати вимірювання швидкості та періоду сейсмічних коливань після обробки сейсмограм наведено в таблиці 1.2.

Таблиця 1.2

Номер блоку	17					
Величина максимальної амплітуди коливань на екрані цифрового осцилографа TPS 2014, B	A_x^{ep} 0.314	A_y^{ep} 0.296	A_z^{ep} 0.363	$A_x^{\delta y\delta}$ 0.324	$A_y^{\delta y\delta}$ —	$A_z^{\delta y\delta}$ —
Величина коефіцієнта перетворювання напруги в швидкість механічних коливань, $(см/с) / B$	0.3571	0.4545	0.4167	0.3030	—	—
Швидкість сейсмічних коливань за окремими складовими, $см/с$	v_x^{ep} 0.112	v_y^{ep} 0.135	v_z^{ep} 0.151	$v_x^{\delta y\delta}$ 0.098	$v_y^{\delta y\delta}$ —	$v_z^{\delta y\delta}$ —
Повна швидкість сейсмічних коливань, $см/с$	v^{ep}			$v^{\delta y\delta}$		
	0.231			0.170		
Бал сейсмічних коливань за Міжнародною сейсмічною шкалою MSK-64	1.16					
Період сейсмічних коливань за окремими складовими, $мс$	T_x^{ep} 20	T_y^{ep} 20	T_z^{ep} 20	$T_x^{\delta y\delta}$ 20	$T_y^{\delta y\delta}$ —	$T_z^{\delta y\delta}$ —

Таблиця 1.3

Номер блоку	18
Початок підриву блоку $\Delta t, мс$	6150
Кінець підриву блока $\tau, мс$	9963
Загальна кількість свердловин $n, ит$	275
Загальна маса вибухівки $Q, т$	226.13
максимальна маса вибухівки на ступень уповільнення $q, т$	1.67
Відстань до точки спостереження $R, м$	1850
Горизонт $H, м$	-255/-270

Результати вимірювання швидкості та періоду сейсмічних коливань після обробки сейсмограм наведено в таблиці 1.4.

Таблиця 1.4

Номер блоку	18					
Величина максимальної амплітуди коливань на екрані цифрового осцилографа TPS 2014, B	A_x^{ep}	A_y^{ep}	A_z^{ep}	$A_x^{\delta y \partial}$	$A_y^{\delta y \partial}$	$A_z^{\delta y \partial}$
	0.461	0.435	0.411	0.357	--	--
Величина коефіцієнта перетворювання напруги в швидкість механічних коливань, $(см/с) / B$	0.3571	0.4545	0.4167	0.3030	--	--
Швидкість сейсмічних коливань за окремими складовими, $см/с$	v_x^{ep}	v_y^{ep}	v_z^{ep}	$v_x^{\delta y \partial}$	$v_y^{\delta y \partial}$	$v_z^{\delta y \partial}$
	0.165	0.198	0.171	0.108	--	--
Повна швидкість сейсмічних коливань, $см/с$	v^{ep}			$v^{\delta y \partial}$		
	0.309			0.187		
Бал сейсмічних коливань за Міжнародною сейсмічною шкалою MSK-64	1.55					
Період сейсмічних коливань за окремими складовими, $мс$	T_x^{ep}	T_y^{ep}	T_z^{ep}	$T_x^{\delta y \partial}$	$T_y^{\delta y \partial}$	$T_z^{\delta y \partial}$
	20	25	20	25	--	--

Таблиця 1.5

Номер блоку	19
Початок підриву блоку $\Delta t, мс$	10113
Кінець підриву блока $\tau, мс$	10147
Загальна кількість свердловин $n, ит$	13
Загальна маса вибухівки $Q, т$ максимальна маса вибухівки на ступень уповільнення $q, т$	0.39 0.21
Відстань до точки спостереження $R, м$	1950
Горизонт $H, м$	-225 (підб.)

Результати вимірювання швидкості та періоду сейсмічних коливань після обробки сейсмограм наведено в таблиці 1.6.

Таблиця 1.6

Номер блоку	19					
Величина максимальної амплітуди коливань на екрані цифрового осцилографа TPS 2014, B	A_x^{sp} 0.066	A_y^{sp} 0.078	A_z^{sp} 0.086	$A_x^{\delta y \partial}$ 0.053	$A_y^{\delta y \partial}$ —	$A_z^{\delta y \partial}$ —
Величина коефіцієнта перетворювання напруги в швидкість механічних коливань, $(см/с) / B$	0.3571	0.4545	0.4167	0.3030	—	—
Швидкість сейсмічних коливань за окремими складовими, $см/с$	v_x^{sp} 0.024	v_y^{sp} 0.035	v_z^{sp} 0.036	$v_x^{\delta y \partial}$ 0.016	$v_y^{\delta y \partial}$ —	$v_z^{\delta y \partial}$ —
Повна швидкість сейсмічних коливань, $см/с$	v^{sp}			$v^{\delta y \partial}$		
	0.056			0.028		
Бал сейсмічних коливань за Міжнародною сейсмічною шкалою MSK-64	0.28					
Період сейсмічних коливань за окремими складовими, $мс$	T_x^{sp} 20	T_y^{sp} 25	T_z^{sp} 30	$T_x^{\delta y \partial}$ 35	$T_y^{\delta y \partial}$ —	$T_z^{\delta y \partial}$ —

Таблиця 1.7

Номер блоку	20
Початок підриву блоку $\Delta t, мс$	10650
Кінець підриву блока $\tau, мс$	11123
Загальна кількість свердловин $n, шт$	113
Загальна маса вибухівки $Q, т$ максимальна маса вибухівки на ступень уповільнення $q, т$	20.44 1.42
Відстань до точки спостереження $R, м$	2300
Горизонт $H, м$	-195/-210

Результати вимірювання швидкості та періоду сейсмічних коливань після обробки сейсмограм наведено в таблиці 1.8.

Таблиця 1.8

Номер блоку	20					
Величина максимальної амплітуди коливань на екрані цифрового осцилографа TPS 2014, B	A_x^{sp} 0.059	A_y^{sp} 0.039	A_z^{sp} 0.044	$A_x^{\delta y\partial}$ 0.048	$A_y^{\delta y\partial}$ —	$A_z^{\delta y\partial}$ —
Величина коефіцієнта перетворювання напруги в швидкість механічних коливань, $(см/с) / B$	0.3571	0.4545	0.4167	0.3030	—	—
Швидкість сейсмічних коливань за окремими складовими, $см/с$	v_x^{sp} 0.021	v_y^{sp} 0.018	v_z^{sp} 0.018	$v_x^{\delta y\partial}$ 0.015	$v_y^{\delta y\partial}$ —	$v_z^{\delta y\partial}$ —
Повна швидкість сейсмічних коливань, $см/с$	v^{sp} 0.033			$v^{\delta y\partial}$ 0.026		
Бал сейсмічних коливань за Міжнародною сейсмічною шкалою MSK-64	0.17					
Період сейсмічних коливань за окремими складовими, $мс$	T_x^{sp} 20	T_y^{sp} 30	T_z^{sp} 30	$T_x^{\delta y\partial}$ 40	$T_y^{\delta y\partial}$ —	$T_z^{\delta y\partial}$ —

Таблиця 1.9

Номер блоку	21
Початок підриву блоку $\Delta t, мс$	11734
Кінець підриву блоку $\tau, мс$	13061
Загальна кількість свердловин $n, шт$	69
Загальна маса вибухівки $Q, т$	55.71
максимальна маса вибухівки на ступень уповільнення $q, т$	1.73
Відстань до точки спостереження $R, м$	2650
Горизонт $H, м$	-105/-120

Результати вимірювання швидкості та періоду сейсмічних коливань після обробки сейсмограм наведено в таблиці 1.10.

Таблиця 1.10

Номер блоку	21					
Величина максимальної амплітуди коливань на екрані цифрового осцилографа TPS 2014, B	A_x^{ep}	A_y^{ep}	A_z^{ep}	$A_x^{\delta y\partial}$	$A_y^{\delta y\partial}$	$A_z^{\delta y\partial}$
	0.123	0.150	0.116	0.097	—	—
Величина коефіцієнта перетворювання напруги в швидкість механічних коливань, ($см/с$) / B	0.3571	0.4545	0.4167	0.3030	—	—
Швидкість сейсмічних коливань за окремими складовими, $см/с$	v_x^{ep}	v_y^{ep}	v_z^{ep}	$v_x^{\delta y\partial}$	$v_y^{\delta y\partial}$	$v_z^{\delta y\partial}$
	0.044	0.068	0.048	0.029	—	—
Повна швидкість сейсмічних коливань, $см/с$	v^{ep}			$v^{\delta y\partial}$		
	0.094			0.062		
Бал сейсмічних коливань за Міжнародною сейсмічною шкалою MSK-64	0.47					
Період сейсмічних коливань за окремими складовими, $мс$	T_x^{ep}	T_y^{ep}	T_z^{ep}	$T_x^{\delta y\partial}$	$T_y^{\delta y\partial}$	$T_z^{\delta y\partial}$
	20	25	30	30	—	—

Таблиця 1.11

Номер блоку	22
Початок підриву блоку $\Delta t, мс$	13111
Кінець підриву блока $\tau, мс$	15597
Загальна кількість свердловин $n, ит$	147
Загальна маса вибухівки $Q, т$ максимальна маса вибухівки на ступень уповільнення $q, т$	121.82 1.76
Відстань до точки спостереження $R, м$	2700
Горизонт $H, м$	-75/-90

Результати вимірювання швидкості та періоду сейсмічних коливань після обробки сейсмограм наведено в таблиці 1.12.

Таблиця 1.12

Номер блоку	22					
Величина максимальної амплітуди коливань на екрані цифрового осцилографа TPS 2014, B	A_x^{ep} 0.121	A_y^{ep} 0.165	A_z^{ep} 0.146	$A_x^{\delta y\delta}$ 0.100	$A_y^{\delta y\delta}$ —	$A_z^{\delta y\delta}$ —
Величина коефіцієнта перетворювання напруги в швидкість механічних коливань, $(см/с) / B$	0.3571	0.4545	0.4167	0.3030	—	—
Швидкість сейсмічних коливань за окремими складовими, $см/с$	v_x^{ep} 0.043	v_y^{ep} 0.075	v_z^{ep} 0.061	$v_x^{\delta y\delta}$ 0.030	$v_y^{\delta y\delta}$ —	$v_z^{\delta y\delta}$ —
Повна швидкість сейсмічних коливань, $см/с$	v^{ep}			$v^{\delta y\delta}$		
	0.106			0.074		
Бал сейсмічних коливань за Міжнародною сейсмічною шкалою MSK-64	0.53					
Період сейсмічних коливань за окремими складовими, $мс$	T_x^{ep} 20	T_y^{ep} 25	T_z^{ep} 25	$T_x^{\delta y\delta}$ 35	$T_y^{\delta y\delta}$ —	$T_z^{\delta y\delta}$ —

Таблиця 1.13

Номер блоку	23
Початок підриву блоку $\Delta t, мс$	650
Кінець підриву блока $\tau, мс$	4767
Загальна кількість свердловин $n, шт$	202
Загальна маса вибухівки $Q, т$ максимальна маса вибухівки на ступень уповільнення $q, т$	99.98575 0.96
Відстань до точки спостереження $R, м$	1400
Горизонт $H, м$	-30/-60

Результати вимірювання швидкості та періоду сейсмічних коливань після обробки сейсмограм наведено в таблиці 1.12.

Таблиця 1.14

Номер блоку	23					
Величина максимальної амплітуди коливань на екрані цифрового осцилографа TPS 2014, B	A_x^{ep}	A_y^{ep}	A_z^{ep}	$A_x^{\delta y \delta}$	$A_y^{\delta y \delta}$	$A_z^{\delta y \delta}$
	0.498	0.489	0.469	0.357	—	—
Величина коефіцієнта перетворювання напруги в швидкість механічних коливань, ($см/с$) / B	0.3571	0.4444	0.4167	0.3030	—	—
Швидкість сейсмічних коливань за окремими складовими, $см/с$	v_x^{ep}	v_y^{ep}	v_z^{ep}	$v_x^{\delta y \delta}$	$v_y^{\delta y \delta}$	$v_z^{\delta y \delta}$
	0.178	0.217	0.195	0.108	—	—
Повна швидкість сейсмічних коливань, $см/с$	v^{ep}			$v^{\delta y \delta}$		
	0.342			0.208		
Бал сейсмічних коливань за Міжнародною сейсмічною шкалою MSK-64	1.71					
Період сейсмічних коливань за окремими складовими, $мс$	T_x^{ep}	T_y^{ep}	T_z^{ep}	$T_x^{\delta y \delta}$	$T_y^{\delta y \delta}$	$T_z^{\delta y \delta}$
	20	20	20	30	—	—

Результати проведених вимірювань показали, що інтенсивність сейсмічних коливань під час виконання масового вибуху визначалась блоком №23, який знаходився на відстані 1,40 км від точки спостереження. При цьому максимальна величина швидкості сейсмічних коливань склала 0,342 см/с, що відповідає 1,71 балам Міжнародної сейсмічної шкали MSK-64.

Сейсмічні коливання, що збуджені підривом інших вибухових блоків не перевищували по швидкості 0,309 см/с, що відповідає 1,55 балам Міжнародної сейсмічної шкали MSK-64.

Коефіцієнт сприйняття коливань будівлею склав величину $K_c = 0,607$.

Загальна тривалість процесу сейсмічних коливань склала близько 16 секунд.

Таким чином, рівень сейсмічних коливань ґрунту, які були створенні масовими вибухами зарядів в кар'єрі АТ «ПівдГЗК» 23 лютого 2022 року відповідає допустимим нормам.

Результати вимірювання ударно-повітряних хвиль, створених масовими вибухами в кар'єрі 23 лютого 2022 року наведено в таблиці 1.15.

Таблиця 1.15.

Номер блоку	17	18	19	20	21	22	23
Величина відхилення стрілки барографа на осцилограмі, м.м	0	0,2	0,2	0,2	0	0	0,2
Величина тиску ударних повітряних хвиль, Па	0	20	20	20	0	0	20

Згідно протоколу повірки величині відхилення стрілки барографу в 1 мм відповідає тиск 100 Па. Результати проведених вимірювань надлишкового тиску повітря показали, що максимальна інтенсивність ударних повітряних хвиль визначилася блоками №18, 19, 20 та 23, які відповідно знаходились на відстанях 1,85, 1,95, 2,30 та 1,40 км від точки спостереження. Таким чином, величина тиску склала 20 Па. Ударні повітряні хвилі від решти вибухових блоків не перевищували 0 Па.

Таким чином, максимальний тиск ударних повітряних хвиль, які були створенні масовими вибухами зарядів в кар'єрі АТ «ПівдГЗК» 23 лютого 2022 року, відповідає допустимим нормам.

Науковий керівник роботи
д.т.н., проф.

Є.О.Несмашний

Виконавці:

к.т.н., доц.



В.П.Ісаєв

інженер



М.О.Крамарчук

інженер



О.І.Кучерявенко

ЗАТВЕРДЖУЮ

Директор КП “Академічний Дім”

Болотніков А.В.



«12 » січня 2021 р

ПРОТОКОЛ

за результатами вимірювань параметрів сейсмічних і ударно-повітряних хвиль, створених масовими вибухами в кар’єрі АТ «ПівдГЗК»

КП “Академічний Дім” виконало вимірювання сейсмічних і ударно-повітряних хвиль, створених масовими вибухами в кар’єрі АТ «ПівдГЗК». Місце проведення вимірювань знаходилося біля двоповерхового цегляного будинку № 6, розташованого по вул. Переяславська, м. Кривий Ріг (Криворізька загальноосвітня школа №67).

Дата вибуху 12 січня 2022 року. Загальна маса вибухової речовини 239,05 тон. На час проведення масових вибухів о 12 год. 00 хв. 00 с. температура повітря складала -5°C, вологість – 56%, швидкість північно-західного вітру 0,5 м/с.

Час початку підриву блоків Δt , час завершення підриву τ , загальна кількість свердловин n , загальна маса вибухівки Q , максимальна маса вибухівки на ступень уповільнення q , відстань до точки спостереження R , горизонт знаходження вибухового блоку H , наведено в табл. 1.1 – 1.2.

Вибуховий блок № 1 підривався за допомогою системи ініціювання вибуху "ShockStar".

Для об’єкту, де проводилися вимірювання, допустимою величиною сейсмічних навантажень прийнято рівень, еквівалентний 2 балам міжнародної сейсмічної шкали MSK-64, якому відповідає значення швидкості сейсмічних коливань 0,4 см/с.

Таблиця 1.1

Номер блоку	1
Початок підриву блоку $\Delta t, мс$	650
Кінець підриву блока $\tau, мс$	4841
Загальна кількість свердловин $n, шт$	310
Загальна маса вибухівки $Q, т$	239.05
максимальна маса вибухівки на ступень уповільнення $q, т$	2.40
Відстань до точки спостереження $R, м$	1800
Горизонт $H, м$	-255/-270

Результати вимірювання швидкості та періоду сейсмічних коливань після обробки сейсмограм наведено в таблиці 1.2.

Таблиця 1.2

Номер блоку	1					
Величина максимальної амплітуди коливань на екрані цифрового осцилографа TPS 2014, B	A_x^{ep}	A_y^{ep}	A_z^{ep}	$A_x^{\delta y \delta}$	$A_y^{\delta y \delta}$	$A_z^{\delta y \delta}$
	0.260	0.240	0.220	0.220	—	—
Величина коефіцієнта перетворювання напруги в швидкість механічних коливань, $(см/с) / B$	0.3571	0.4545	0.4167	0.3030	—	—
Швидкість сейсмічних коливань за окремими складовими, $см/с$	v_x^{ep}	v_y^{ep}	v_z^{ep}	$v_x^{\delta y \delta}$	$v_y^{\delta y \delta}$	$v_z^{\delta y \delta}$
	0.093	0.109	0.092	0.067	—	—
Повна швидкість сейсмічних коливань, $см/с$	v^{ep}			$v^{\delta y \delta}$		
	0.170			0.116		
Бал сейсмічних коливань за Міжнародною сейсмічною шкалою MSK-64	0.85					
Період сейсмічних коливань за окремими складовими, $мс$	T_x^{ep}	T_y^{ep}	T_z^{ep}	$T_x^{\delta y \delta}$	$T_y^{\delta y \delta}$	$T_z^{\delta y \delta}$
	30	40	20	40	—	—

Результати проведених вимірювань показали, що інтенсивність сейсмічних коливань під час виконання масового вибуху визначалась блоком №1, який знаходився на відстані 1,80 км від точки спостереження. При цьому максимальна величина швидкості сейсмічних коливань склала 0,170 см/с, що відповідає **0,85** балам Міжнародної сейсмічної шкали MSK-64.

Коефіцієнт сприйняття коливань будівлею склав величину $K_c = 0,682$.

Загальна тривалість процесу сейсмічних коливань склала близько 6 секунд.

Таким чином, рівень сейсмічних коливань ґрунту, які були створенні масовими вибухами зарядів в кар'єрі АТ «ПівдГЗК» 12 січня 2022 року **відповідає** допустимим нормам.

Результати вимірювання ударно-повітряних хвиль, створених масовими вибухами в кар'єрі 12 січня 2022 року наведено в таблиці 1.3.

Таблиця 1.3

Номер блоку	1
Величина відхилення стрілки барографа на осцилограмі, мм	0,2
Величина тиску ударних повітряних хвиль, Па	20

Згідно протоколу повірки величині відхилення стрілки барографу в 1 мм відповідає тиск 100 Па. Результати проведених вимірювань надлишкового тиску повітря показали, що максимальна інтенсивність ударних повітряних хвиль визначилася блоком №1, який знаходився на відстані 1,80 км від точки спостереження. Таким чином, величина тиску склала 20 Па.

Таким чином, максимальний тиск ударних повітряних хвиль, які були створенні масовими вибухами зарядів в кар'єрі АТ «ПівдГЗК» 12 січня 2022 року, **відповідає** допустимим нормам.

Науковий керівник роботи
д.т.н., проф.

Є.О.Несмашний

Виконавці:

к.т.н., доц.

В.П.Ісаєв

інженер

М.О.Крамарчук

інженер

О.І.Кучерявенко

ЗАТВЕРДЖУЮ

Директор КП “Академічний Дім”

Болотніков А.В.



« 26 » січня 2021 р

ПРОТОКОЛ

за результатами вимірювань параметрів сейсмічних і ударно-повітряних хвиль, створених масовими вибухами в кар’єрі АТ «ПІВДГЗК»

КП “Академічний Дім” виконало вимірювання сейсмічних і ударно-повітряних хвиль, створених масовими вибухами в кар’єрі АТ «ПІВДГЗК». Місце проведення вимірювань знаходилося біля триповерхового цегляного будинку № 29, розташованого по вул. Салтиківська, м. Кривий Ріг (Центр дитячої та юнацької творчості «Мрія»).

Дата вибуху 26 січня 2022 року. Загальна маса вибухової речовини *650,010 тон*. На час проведення масових вибухів о *12 год. 00 хв. 00 с.* температура повітря складала *-3⁰C*, вологість – *70 %*, швидкість північно-західного вітру *0,5 м/с.*

Час початку підриву блоків Δt , час завершення підриву τ , загальна кількість свердловин n , загальна маса вибухівки Q , максимальна маса вибухівки на ступень уповільнення q , відстань до точки спостереження R , горизонт знаходження вибухового блоку H , наведено в табл. 1.1 – 1.16.

Вибухові блоки №2, 3, 4, 7 та 8 підривалися за допомогою системи ініціювання вибуху "ShockStar", блоки №5, 6 та 9 – "ShockStar", ДШЕ-12.

Для об’єкту, де проводилися вимірювання, допустимою величиною сейсмічних навантажень прийнято рівень, еквівалентний 2 балам міжнародної сейсмічної шкали MSK-64, якому відповідає значення швидкості сейсмічних коливань *0,4 см/с.*

Таблиця 1.1

Номер блоку	2
Початок підриву блоку $\Delta t, мс$	2157
Кінець підриву блоку $\tau, мс$	4008
Загальна кількість свердловин $n, шт$	42
Загальна маса вибухівки $Q, т$ максимальна маса вибухівки на ступень уповільнення $q, т$	49.53 1.53
Відстань до точки спостереження $R, м$	2050
Горизонт $H, м$	-330/-345

Результати вимірювання швидкості та періоду сейсмічних коливань після обробки сейсмограм наведено в таблиці 1.2.

Таблиця 1.2

Номер блоку	2					
Величина максимальної амплітуди коливань на екрані цифрового осцилографа TPS 2014, B	A_x^{ep}	A_y^{ep}	A_z^{ep}	$A_x^{\delta y\delta}$	$A_y^{\delta y\delta}$	$A_z^{\delta y\delta}$
	0.320	0.240	0.460	0.497	-	-
Величина коефіцієнта перетворювання напруги в швидкість механічних коливань, $(см/с)/B$	0.3571	0.4545	0.4167	0.3030	-	-
Швидкість сейсмічних коливань за окремими складовими, $см/с$	v_x^{ep}	v_y^{ep}	v_z^{ep}	$v_x^{\delta y\delta}$	$v_y^{\delta y\delta}$	$v_z^{\delta y\delta}$
	0.114	0.109	0.192	0.151	-	-
Повна швидкість сейсмічних коливань, $см/с$	v^{ep}			$v^{\delta y\delta}$		
	0.248			0.262		
Бал сейсмічних коливань за Міжнародною сейсмічною шкалою MSK-64	1.24					
Період сейсмічних коливань за окремими складовими, $мс$	T_x^{ep}	T_y^{ep}	T_z^{ep}	$T_x^{\delta y\delta}$	$T_y^{\delta y\delta}$	$T_z^{\delta y\delta}$
	27	48	30	30	-	-

Таблиця 1.3

Номер блоку	3
Початок підриву блоку $\Delta t, мс$	750
Кінець підриву блоку $\tau, мс$	2476
Загальна кількість свердловин $n, шт$	49
Загальна маса вибухівки $Q, т$ максимальна маса вибухівки на ступень уповільнення $q, т$	56.87 1.63
Відстань до точки спостереження $R, м$	2150
Горизонт $H, м$	-330/-345

Результати вимірювання швидкості та періоду сейсмічних коливань після обробки сейсмограм наведено в таблиці 1.4.

Таблиця 1.4

Номер блоку	3					
Величина максимальної амплітуди коливань на екрані цифрового осцилографа TPS 2014, B	A_x^{ep}	A_y^{ep}	A_z^{ep}	$A_x^{\delta y \delta}$	$A_y^{\delta y \delta}$	$A_z^{\delta y \delta}$
	0.200	0.160	0.460	0.497	-	-
Величина коефіцієнта перетворювання напруги в швидкість механічних коливань, $(см/с)/B$	0.3571	0.4545	0.4167	0.3030	-	-
Швидкість сейсмічних коливань за окремими складовими, $см/с$	v_x^{ep}	v_y^{ep}	v_z^{ep}	$v_x^{\delta y \delta}$	$v_y^{\delta y \delta}$	$v_z^{\delta y \delta}$
	0.071	0.073	0.192	0.151	-	-
Повна швидкість сейсмічних коливань, $см/с$	v^{ep}			$v^{\delta y \delta}$		
	0.217			0.262		
Бал сейсмічних коливань за Міжнародною сейсмічною шкалою MSK-64	1.09					
Період сейсмічних коливань за окремими складовими, $мс$	T_x^{ep}	T_y^{ep}	T_z^{ep}	$T_x^{\delta y \delta}$	$T_y^{\delta y \delta}$	$T_z^{\delta y \delta}$
	36	40	30	30	-	-

Таблиця 1.5

Номер блоку	4
Початок підриву блоку $\Delta t, мс$	4150
Кінець підриву блока $\tau, мс$	7176
Загальна кількість свердловин $n, шт$	207
Загальна маса вибухівки $Q, т$ максимальна маса вибухівки на ступень уповільнення $q, т$	169.33 2.59
Відстань до точки спостереження $R, м$	1600
Горизонт $H, м$	-255/-270

Результати вимірювання швидкості та періоду сейсмічних коливань після обробки сейсмограм наведено в таблиці 1.6.

Таблиця 1.6

Номер блоку	4					
Величина максимальної амплітуди коливань на екрані цифрового осцилографа TPS 2014, B	A_x^{ep}	A_y^{ep}	A_z^{ep}	$A_x^{\delta y\delta}$	$A_y^{\delta y\delta}$	$A_z^{\delta y\delta}$
	0.480	0.580	0.660	0.756	-	-
Величина коефіцієнта перетворювання напруги в швидкість механічних коливань, $(см/с)/B$	0.3571	0.4444	0.3704	0.2985	-	-
Швидкість сейсмічних коливань за окремими складовими, $см/с$	v_x^{ep}	v_y^{ep}	v_z^{ep}	$v_x^{\delta y\delta}$	$v_y^{\delta y\delta}$	$v_z^{\delta y\delta}$
	0.171	0.258	0.244	0.226	-	-
Повна швидкість сейсмічних коливань, $см/с$	v^{ep}			$v^{\delta y\delta}$		
	0.394			0.391		
Бал сейсмічних коливань за Міжнародною сейсмічною шкалою MSK-64	1,97					
Період сейсмічних коливань за окремими складовими, $мс$	T_x^{ep}	T_y^{ep}	T_z^{ep}	$T_x^{\delta y\delta}$	$T_y^{\delta y\delta}$	$T_z^{\delta y\delta}$
	34	42	35	35	-	-

Таблиця 1.7

Номер блоку	5
Початок підриву блоку $\Delta t, мс$	7702
Кінець підриву блоку $\tau, мс$	7937
Загальна кількість свердловин $n, шт$	59
Загальна маса вибухівки $Q, т$ максимальна маса вибухівки на ступень уповільнення $q, т$	6.08 0.556
Відстань до точки спостереження $R, м$	2200
Горизонт $H, м$	-180/-210

Результати вимірювання швидкості та періоду сейсмічних коливань після обробки сейсмограм наведено в таблиці 1.8.

Таблиця 1.8

Номер блоку	5					
Величина максимальної амплітуди коливань на екрані цифрового осцилографа TPS 2014, B	A_x^{ep}	A_y^{ep}	A_z^{ep}	$A_x^{\delta y \delta}$	$A_y^{\delta y \delta}$	$A_z^{\delta y \delta}$
	0.200	0.160	0.180	0.194	-	-
Величина коефіцієнта перетворювання напруги в швидкість механічних коливань, $(см/с)/B$	0.3571	0.4545	0.4167	0.3030	-	-
Швидкість сейсмічних коливань за окремими складовими, $см/с$	v_x^{ep}	v_y^{ep}	v_z^{ep}	$v_x^{\delta y \delta}$	$v_y^{\delta y \delta}$	$v_z^{\delta y \delta}$
	0.071	0.073	0.075	0.059	-	-
Повна швидкість сейсмічних коливань, $см/с$	v^{ep}			$v^{\delta y \delta}$		
	0.126			0.102		
Бал сейсмічних коливань за Міжнародною сейсмічною шкалою MSK-64	0.63					
Період сейсмічних коливань за окремими складовими, $мс$	T_x^{ep}	T_y^{ep}	T_z^{ep}	$T_x^{\delta y \delta}$	$T_y^{\delta y \delta}$	$T_z^{\delta y \delta}$
	35	45	40	45	-	-

Таблиця 1.9

Номер блоку	6
Початок підриву блоку $\Delta t, мс$	7971
Кінець підриву блоку $\tau, мс$	8162
Загальна кількість свердловин $n, шт$	84
Загальна маса вибухівки $Q, т$ максимальна маса вибухівки на ступень уповільнення $q, т$	15.15 1.44
Відстань до точки спостереження $R, м$	2500
Горизонт $H, м$	-180/-195

Результати вимірювання швидкості та періоду сейсмічних коливань після обробки сейсмограм наведено в таблиці 1.10.

Таблиця 1.10

Номер блоку	6					
Величина максимальної амплітуди коливань на екрані цифрового осцилографа TPS 2014, B	A_x^{ep}	A_y^{ep}	A_z^{ep}	$A_x^{\delta y\delta}$	$A_y^{\delta y\delta}$	$A_z^{\delta y\delta}$
	0.060	0.080	0.060	0.065	-	-
Величина коефіцієнта перетворювання напруги в швидкість механічних коливань, $(см/с)/B$	0.3571	0.4545	0.4167	0.3030	-	-
Швидкість сейсмічних коливань за окремими складовими, $см/с$	v_x^{ep}	v_y^{ep}	v_z^{ep}	$v_x^{\delta y\delta}$	$v_y^{\delta y\delta}$	$v_z^{\delta y\delta}$
	0.021	0.036	0.025	0.020	-	-
Повна швидкість сейсмічних коливань, $см/с$	v^{ep}			$v^{\delta y\delta}$		
	0.049			0.035		
Бал сейсмічних коливань за Міжнародною сейсмічною шкалою MSK-64	0.25					
Період сейсмічних коливань за окремими складовими, $мс$	T_x^{ep}	T_y^{ep}	T_z^{ep}	$T_x^{\delta y\delta}$	$T_y^{\delta y\delta}$	$T_z^{\delta y\delta}$
	42	40	36	40	-	-

Таблиця 1.11

Номер блоку	7
Початок підриву блоку $\Delta t, мс$	10950
Кінець підриву блоку $\tau, мс$	14066
Загальна кількість свердловин $n, шт$	189
Загальна маса вибухівки $Q, т$ максимальна маса вибухівки на ступень уповільнення $q, т$	156.04 1.79
Відстань до точки спостереження $R, м$	2600
Горизонт $H, м$	-105/-120

Результати вимірювання швидкості та періоду сейсмічних коливань після обробки сейсмограм наведено в таблиці 1.12.

Таблиця 1.12

Номер блоку	7					
Величина максимальної амплітуди коливань на екрані цифрового осцилографа TPS 2014, B	A_x^{ep}	A_y^{ep}	A_z^{ep}	$A_x^{\delta y \delta}$	$A_y^{\delta y \delta}$	$A_z^{\delta y \delta}$
	0.100	0.120	0.100	0.108	-	-
Величина коефіцієнта перетворювання напруги в швидкість механічних коливань, $(см/с)/B$	0.3571	0.4545	0.4167	0.3030	-	-
Швидкість сейсмічних коливань за окремими складовими, $см/с$	v_x^{ep}	v_y^{ep}	v_z^{ep}	$v_x^{\delta y \delta}$	$v_y^{\delta y \delta}$	$v_z^{\delta y \delta}$
	0.036	0.055	0.042	0.033	-	-
Повна швидкість сейсмічних коливань, $см/с$	v^{ep}			$v^{\delta y \delta}$		
	0.078			0.072		
Бал сейсмічних коливань за Міжнародною сейсмічною шкалою MSK-64	0.39					
Період сейсмічних коливань за окремими складовими, $мс$	T_x^{ep}	T_y^{ep}	T_z^{ep}	$T_x^{\delta y \delta}$	$T_y^{\delta y \delta}$	$T_z^{\delta y \delta}$
	50	40	30	30	-	-

Таблиця 1.13

Номер блоку	8
Початок підриву блоку $\Delta t, мс$	13771
Кінець підриву блоку $\tau, мс$	15568
Загальна кількість свердловин $n, шт$	100
Загальна маса вибухівки $Q, т$ максимальна маса вибухівки на ступень уповільнення $q, т$	78.75 1.73
Відстань до точки спостереження $R, м$	2800
Горизонт $H, м$	-75/-90

Результати вимірювання швидкості та періоду сейсмічних коливань після обробки сейсмограм наведено в таблиці 1.14.

Таблиця 1.14

Номер блоку	8					
Величина максимальної амплітуди коливань на екрані цифрового осцилографа TPS 2014, B	A_x^{ep}	A_y^{ep}	A_z^{ep}	$A_x^{\delta y\delta}$	$A_y^{\delta y\delta}$	$A_z^{\delta y\delta}$
	0.120	0.100	0.140	0.151	-	-
Величина коефіцієнта перетворювання напруги в швидкість механічних коливань, $(см/с)/B$	0.3571	0.4545	0.4167	0.3030	-	-
Швидкість сейсмічних коливань за окремими складовими, $см/с$	v_x^{ep}	v_y^{ep}	v_z^{ep}	$v_x^{\delta y\delta}$	$v_y^{\delta y\delta}$	$v_z^{\delta y\delta}$
	0.043	0.045	0.058	0.046	-	-
Повна швидкість сейсмічних коливань, $см/с$	v^{ep}			$v^{\delta y\delta}$		
	0.085			0.091		
Бал сейсмічних коливань за Міжнародною сейсмічною шкалою MSK-64	0.43					
Період сейсмічних коливань за окремими складовими, $мс$	T_x^{ep}	T_y^{ep}	T_z^{ep}	$T_x^{\delta y\delta}$	$T_y^{\delta y\delta}$	$T_z^{\delta y\delta}$
	34	40	36	36	-	-

Таблиця 1.15

Номер блоку	9
Початок підриву блоку $\Delta t, мс$	8203
Кінець підриву блоку $\tau, мс$	10739
Загальна кількість свердловин $n, шт$	212
Загальна маса вибухівки $Q, т$ максимальна маса вибухівки на ступень уповільнення $q, т$	118.26 1.67
Відстань до точки спостереження $R, м$	3000
Горизонт $H, м$	-75/-90

Результати вимірювання швидкості та періоду сейсмічних коливань після обробки сейсмограм наведено в таблиці 1.16.

Таблиця 1.16

Номер блоку	9					
Величина максимальної амплітуди коливань на екрані цифрового осцилографа TPS 2014, B	A_x^{ep}	A_y^{ep}	A_z^{ep}	$A_x^{\delta y\delta}$	$A_y^{\delta y\delta}$	$A_z^{\delta y\delta}$
	0.100	0.100	0.100	0.108	-	-
Величина коефіцієнта перетворювання напруги в швидкість механічних коливань, $(см/с)/B$	0.3571	0.4545	0.4167	0.3030	-	-
Швидкість сейсмічних коливань за окремими складовими, $см/с$	v_x^{ep}	v_y^{ep}	v_z^{ep}	$v_x^{\delta y\delta}$	$v_y^{\delta y\delta}$	$v_z^{\delta y\delta}$
	0.036	0.045	0.042	0.033	-	-
Повна швидкість сейсмічних коливань, $см/с$	v^{ep}			$v^{\delta y\delta}$		
	0.071			0.065		
Бал сейсмічних коливань за Міжнародною сейсмічною шкалою MSK-64	0.36					
Період сейсмічних коливань за окремими складовими, $мс$	T_x^{ep}	T_y^{ep}	T_z^{ep}	$T_x^{\delta y\delta}$	$T_y^{\delta y\delta}$	$T_z^{\delta y\delta}$
	30	42	33	35	-	-

Результати проведених вимірювань показали, що інтенсивність сейсмічних коливань під час виконання масового вибуху визначалась блоком №4 який знаходився на відстані $1,60 \text{ км}$ від точки спостереження. При цьому максимальна величина швидкості сейсмічних коливань склала $0,394 \text{ см}/\text{s}$, що відповідає 1,97 балам Міжнародної сейсмічної шкали MSK-64.

Сейсмічні коливання, що збуджені підривом інших вибухових блоків не перевищували по швидкості $0,248 \text{ см}/\text{s}$, що відповідає 1,24 балам Міжнародної сейсмічної шкали MSK-64.

Коефіцієнт сприйняття коливань будівлею склав величину $K_c = 0,97$.

Загальна тривалість процесу сейсмічних коливань склала близько 16 секунд.

Таким чином, рівень сейсмічних коливань ґрунту, які були створенні масовими вибухами зарядів в кар'єрі АТ «ПІВДГЗК» 26 січня 2022 року відповідає допустимим нормам.

Результати вимірювання ударно-повітряних хвиль, створених масовими вибухами в кар'єрі 26 січня 2022 року наведено в таблиці 1.17.

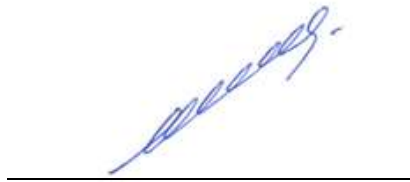
Таблиця 1.17

Номер блоку	2	3	4	5	6	7	8	9
Величина відхилення стрілки барографа на осцилограмі, мм	0,5	0,5	0,5	0,2	0,2	0,5	0,2	0,2
Величина тиску ударних повітряних хвиль, Па	50	50	50	20	20	50	20	20

Згідно протоколу повірки величині відхилення стрілки барографу в 1 мм відповідає тиск 100 Па . Результати проведених вимірювань надлишкового тиску повітря показали, що максимальна інтенсивність ударних повітряних хвиль визначилась блоками №2, 3, 4 та 7 які відповідно знаходилися на відстанях $2,05$, $2,15$, $1,60$ та $2,60 \text{ км}$ від точки спостереження. Таким чином, величина тиску склала 50 Па . Ударні повітряні хвилі від решти вибухових блоків не перевищували 20 Па .

Таким чином, максимальний тиск ударних повітряних хвиль, які були створені масовими вибухами зарядів в кар'єрі АТ «ПВДГЗК» 26 січня 2022 року, відповідає допустимим нормам.

Науковий керівник роботи
д.т.н., проф.



Є.О.Несмашний

Виконавці:

к.т.н., доц.



В.П.Ісаєв

інженер



М.О.Крамарчук

інженер



О.І.Кучерявенко